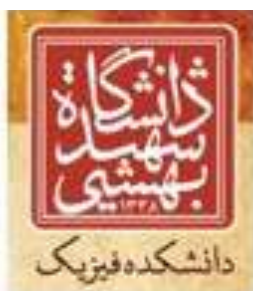


بِسْمِ اللّٰهِ الرَّحْمٰنِ الرَّحِیْمِ

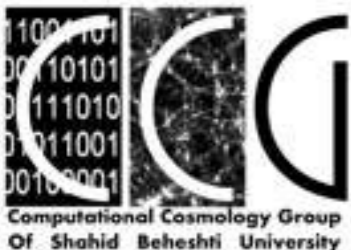


Correlation

(۱۴۰۳)

سید محمد صادق موحد

دانشکده فیزیک - دانشگاه شهید بهشتی
گروه کیهان شناسی محاسباتی (GCC-SBU)
آزمایشگاه میان رشته ای ابن سینا
<http://facultymembers.sbu.ac.ir/movahed/>



مهمترین منابع مورد استفاده

Books:

موارد قرمز شده بسیار مرتبط است خصوصا آخرین مرجع قرمز رنگ

- Data analysis: A Bayesian Tutorial, by D.S. Sivia & J. Skilling, Oxford science Publication, 2010
- Data reduction and error analysis for the physical sciences, P. R. Bevington & D. K. Robinson, McGrawHill, 2003
- Error of Observations and their Treatment, J. Topping, 1972.
- Practical Physics, G. L. Squires, 1985.
- An Introduction to Error Analysis: The Study of Uncertainties in Physical Measurements, Taylor, J. R. 2nd Ed.; University Science Books: Sausalito, CA, 1997.
- Data analysis in cosmology, "Lecture notes in physics 665"
- Mathematical statistics with applications, J.E. Freund's, Pearson education, 2005,
- All of Statistics, L. Wasserman, Springer, 2004
- Statistics, R.J. Barlow, Wiley, 2002.
- Introduction to statistics and Data analysis for Physicist, Gerhard Bohm, Günter Zech, 2010.
- Statistics, Data Mining, and Machine Learning in Astronomy: A Practical Python Guide for the Analysis of Survey Data (Princeton Series in Modern Observational Astronomy), Željko Ivezić, Andrew J. Connolly, Jacob T. VanderPlas, and Alexander Gray, PRINCETON UNIVERSITY PRESS, 2014

Papers and Lectures:

- Verde, Licia. "A practical guide to basic statistical techniques for data analysis in cosmology." arXiv preprint arXiv:0712.3028 (2007).
- Verde, Licia. "Statistical methods in cosmology." Lectures on Cosmology. Springer, Berlin, Heidelberg, 2010. 147-177.
- Liddle, Andrew R. "How many cosmological parameters." Monthly Notices of the Royal Astronomical Society 351.3 (2004): L49-L53.
- Heavens, Alan. "Statistical techniques in cosmology." arXiv preprint arXiv:0906.0664 (2009).
- Efron, Bradley. "Bayesians, frequentists, and physicists." PHYSTAT2003: Statistical Problems in Particle Physics, Astrophysics, and Cosmology, SLAC, Stanford CA (2003): 17-24
- BARLOW, ROGER J. "Asymmetric statistical errors." Statistical Problems In Particle Physics, Astrophysics And Cosmology. 2006. 56-59, arXiv:physics/0406120
- Betancourt, Michael. "A conceptual introduction to Hamiltonian Monte Carlo." arXiv preprint arXiv:1701.02434 (2017).
- Neal, Radford M. "MCMC using Hamiltonian dynamics." Handbook of Markov Chain Monte Carlo 2.11 (2011).
- <http://facultymembers.sbu.ac.ir/movahed/>

مهمترین منابع مورد استفاده

← → ↻ 🏠 facultymembers.sbu.ac.ir/movahed/

SHAHID BEHESHTI UNIVERSITY


Department of Physics


MAIN MENU

- Home
- About Me
- Contact me
- Researches of Interest
- Publications
- Students
- Courses
- **Talks & Presentations**
- Useful Stuff
- Group Meetings
- My CV
- Collaborations
- Other Activities
- Photo
- Login
- پارسی (Persian)

Seyed Mohammad Sadegh Movahed Academic Homepage

News

 My program in the Autumn semester (1396-1397 (2017-2018)) ([Download](#))

 Some proposals for Master Researches in my group (عناوین تعدادی پیشنهاده پایان نامه دوره کارشناسی ارشد) ([Download](#))

Some proposals for Ph.D. Researches in my group (عناوین تعدادی پیشنهاده تز دوره دکتری) ([Download](#))

[Some proposed Books for the relation between Physics and Philosophy.](#)

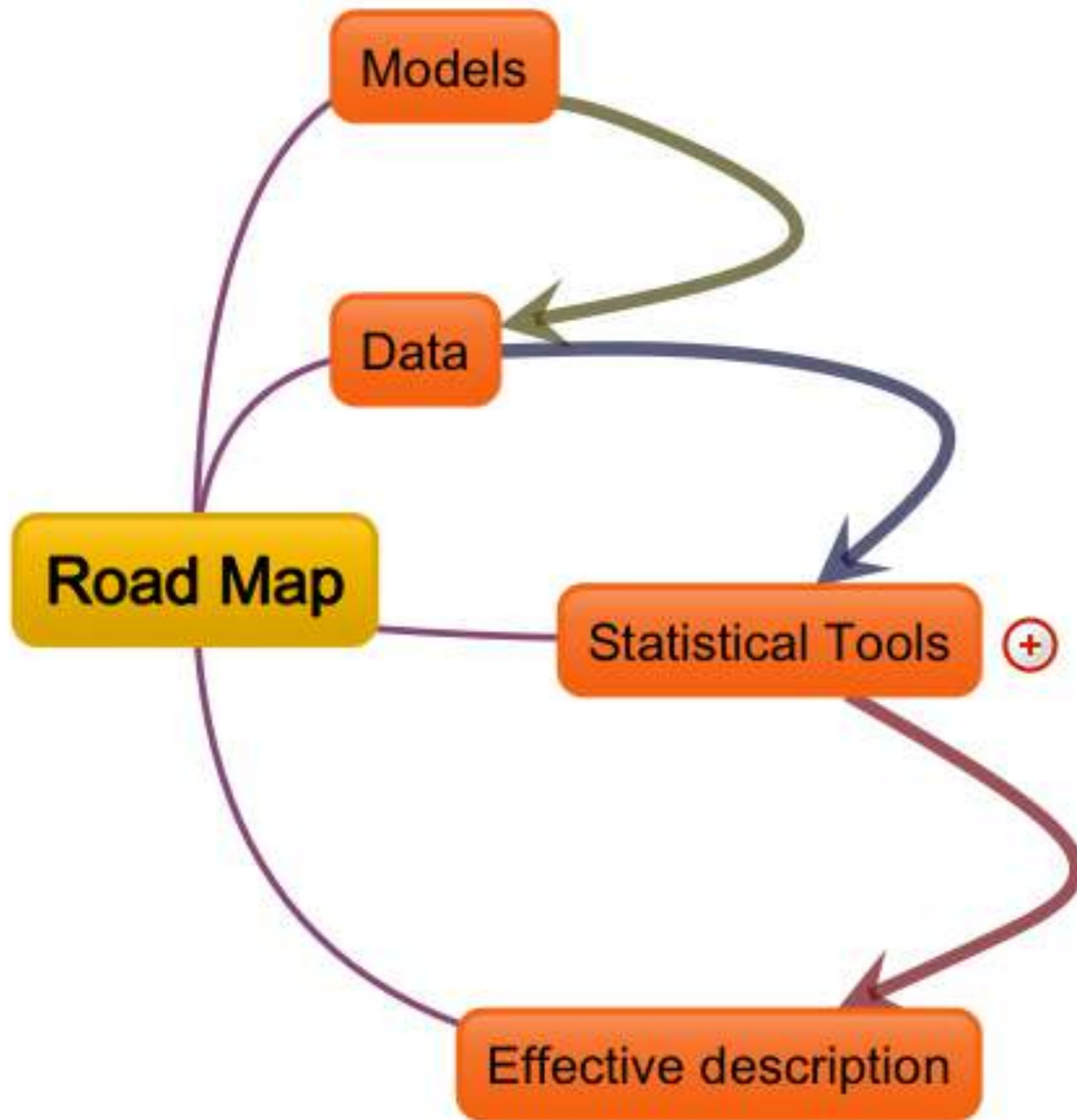
فهرست مطالب

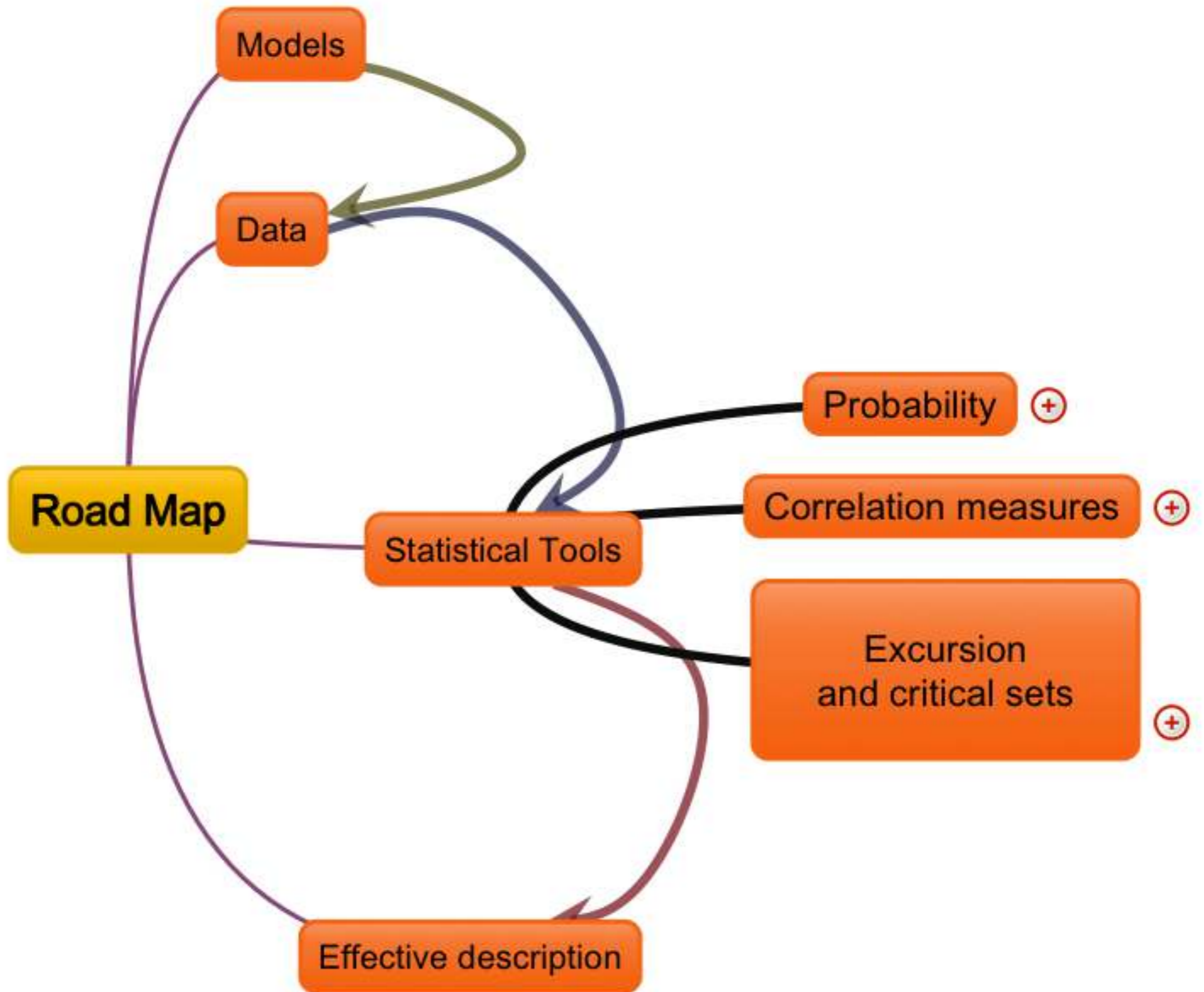
(۱) تابع چگالی احتمال همبسته (Joint PDF)

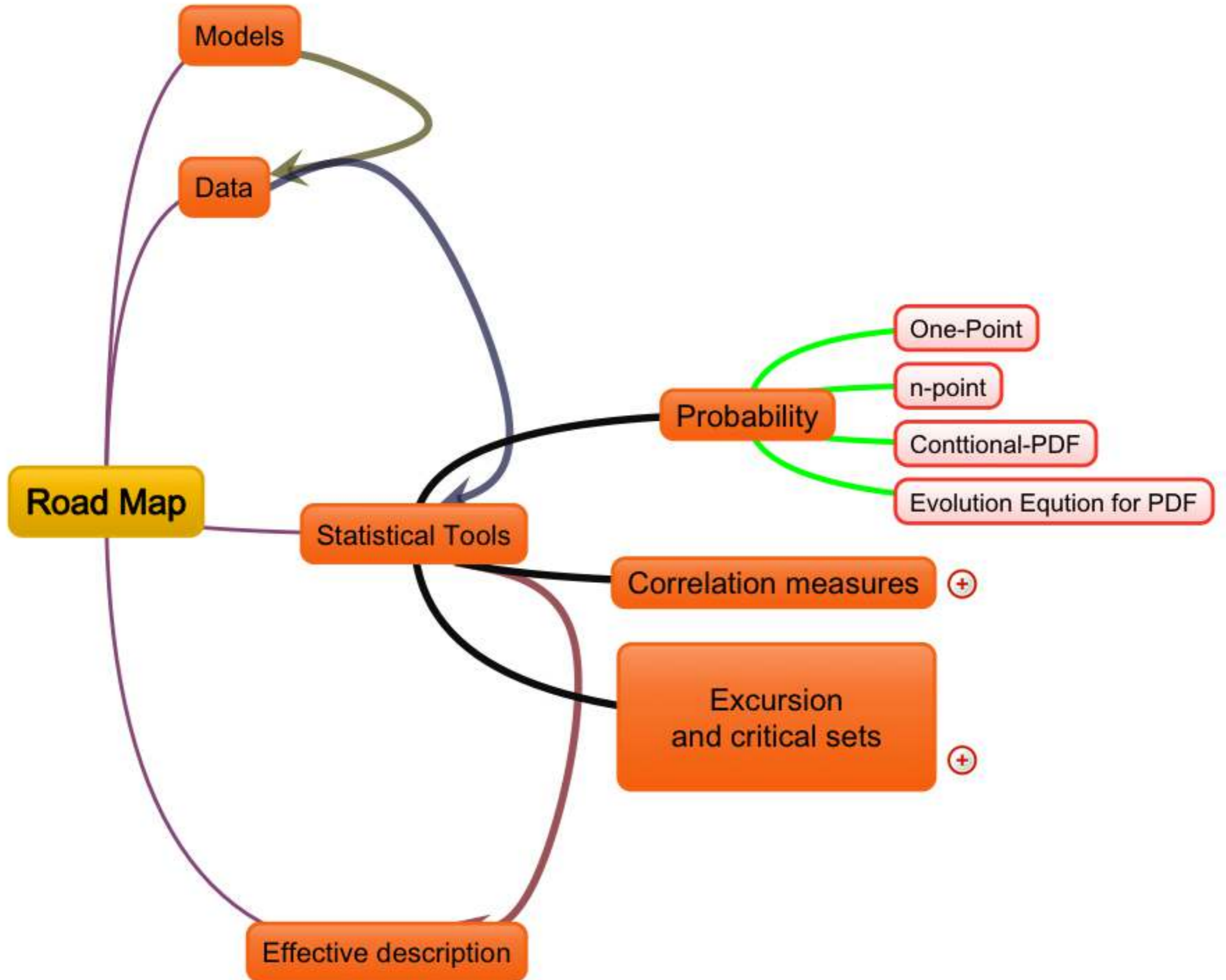
(۲) همبستگی (Correlation)

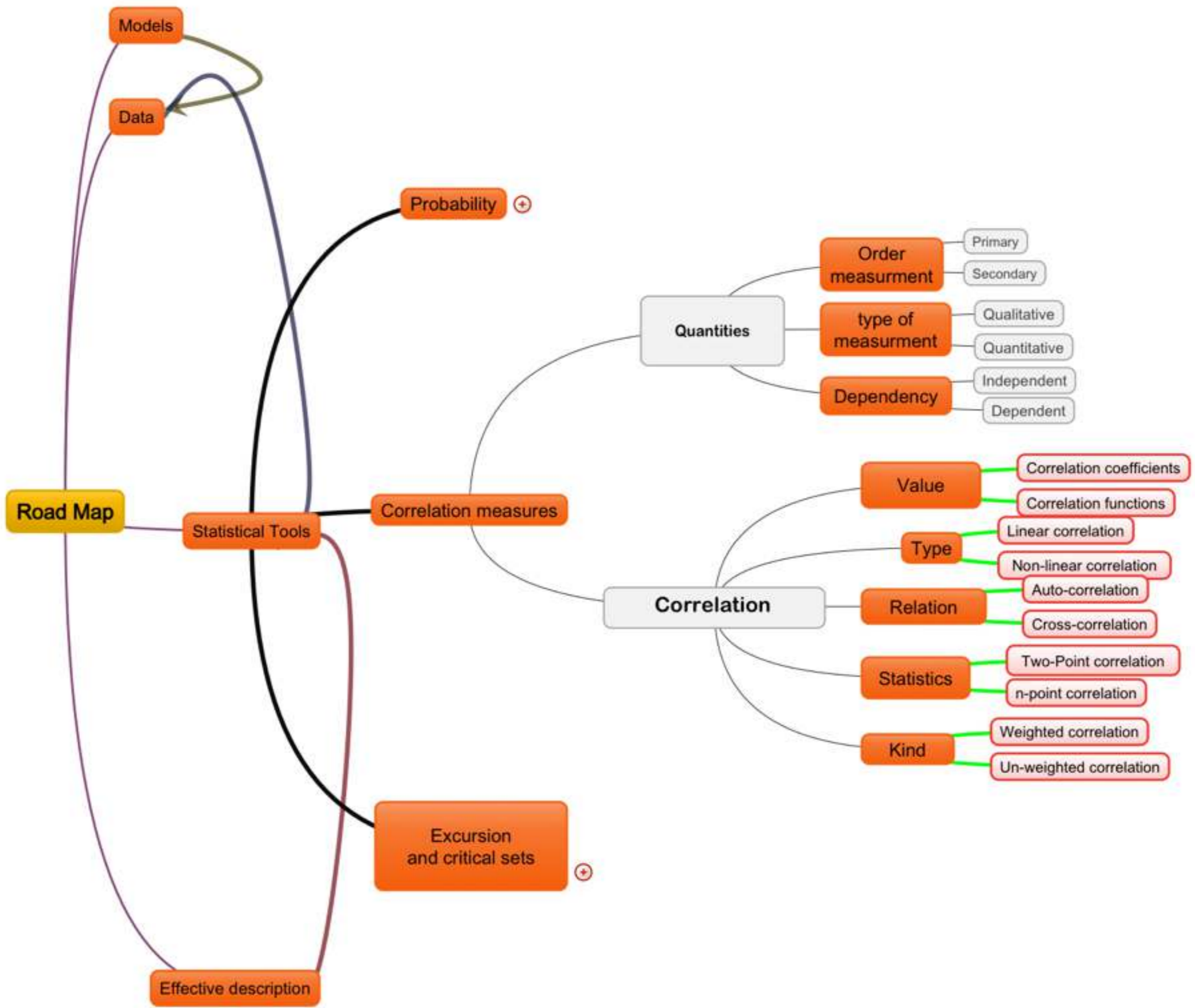
جمع بندی

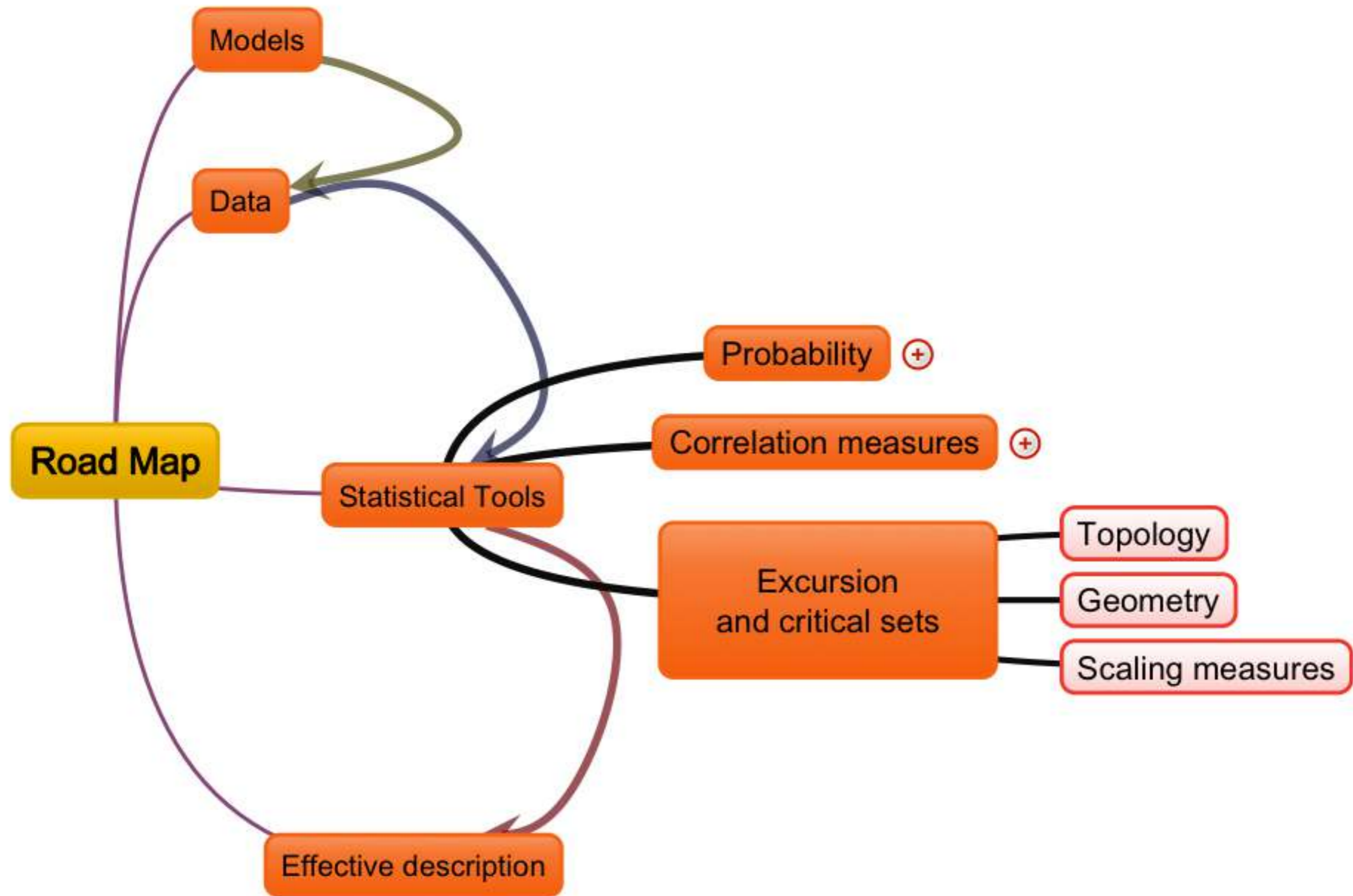
نقشه راه من











Random Processes

- Purely Random

Process

$$p(x_n, t_n \mid x_{n-1}, t_{n-1}; \dots; x_1, t_1) = p(x_n, t_n)$$

- Dependent Process

$$p(x_n, t_n; x_{n-1}, t_{n-1}; \dots; x_1, t_1) =$$

$$p(x_n, t_n \mid x_{n-1}, t_{n-1}; \dots; x_1, t_1) \times p(x_{n-1}, t_{n-1} \mid x_{n-2}, t_{n-2}; \dots; x_1, t_1)$$

$$\dots \times p(x_2, t_2 \mid x_1, t_1) \times p(x_1, t_1)$$

$$t_1 < t_2 < \dots < t_n$$

- Markov Process

$$p(x_n, t_n; x_{n-1}, t_{n-1}; \dots; x_1, t_1) = p(x_n, t_n \mid x_{n-1}, t_{n-1})$$

$$\times p(x_{n-1}, t_{n-1}; x_{n-2}, t_{n-2}; \dots; x_1, t_1)$$

Probability distribution

$$\zeta(t) ::= [\zeta_1(t_1), \zeta_2(t_2), \dots, \zeta_N(t_N)]$$

$$\zeta_1(t_1) = x_1, \zeta_2(t_2) = x_2, \dots, \zeta_N(t_N) = x_N$$

- Probability Density Function (PDF)

- $$P(x \leq \zeta < x + dx) = p(x)dx$$

- Joint Probability Density

$$p(x_i, t_i ; x_j, t_j)$$

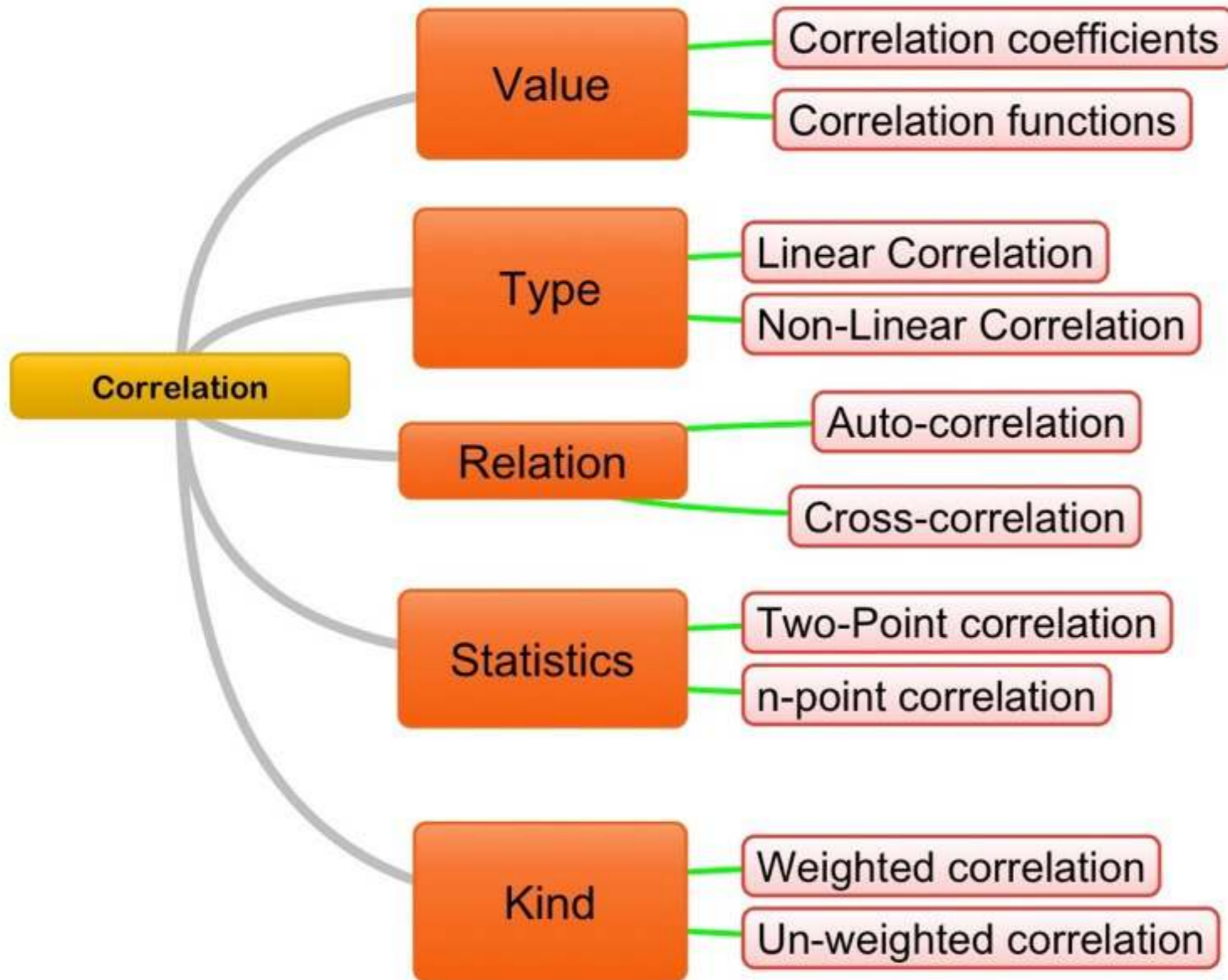
- Conditional Probability Density

$$p(x_i, t_i | x_j, t_j) = \frac{p(x_i, t_i ; x_j, t_j)}{p(x_j, t_j)}$$

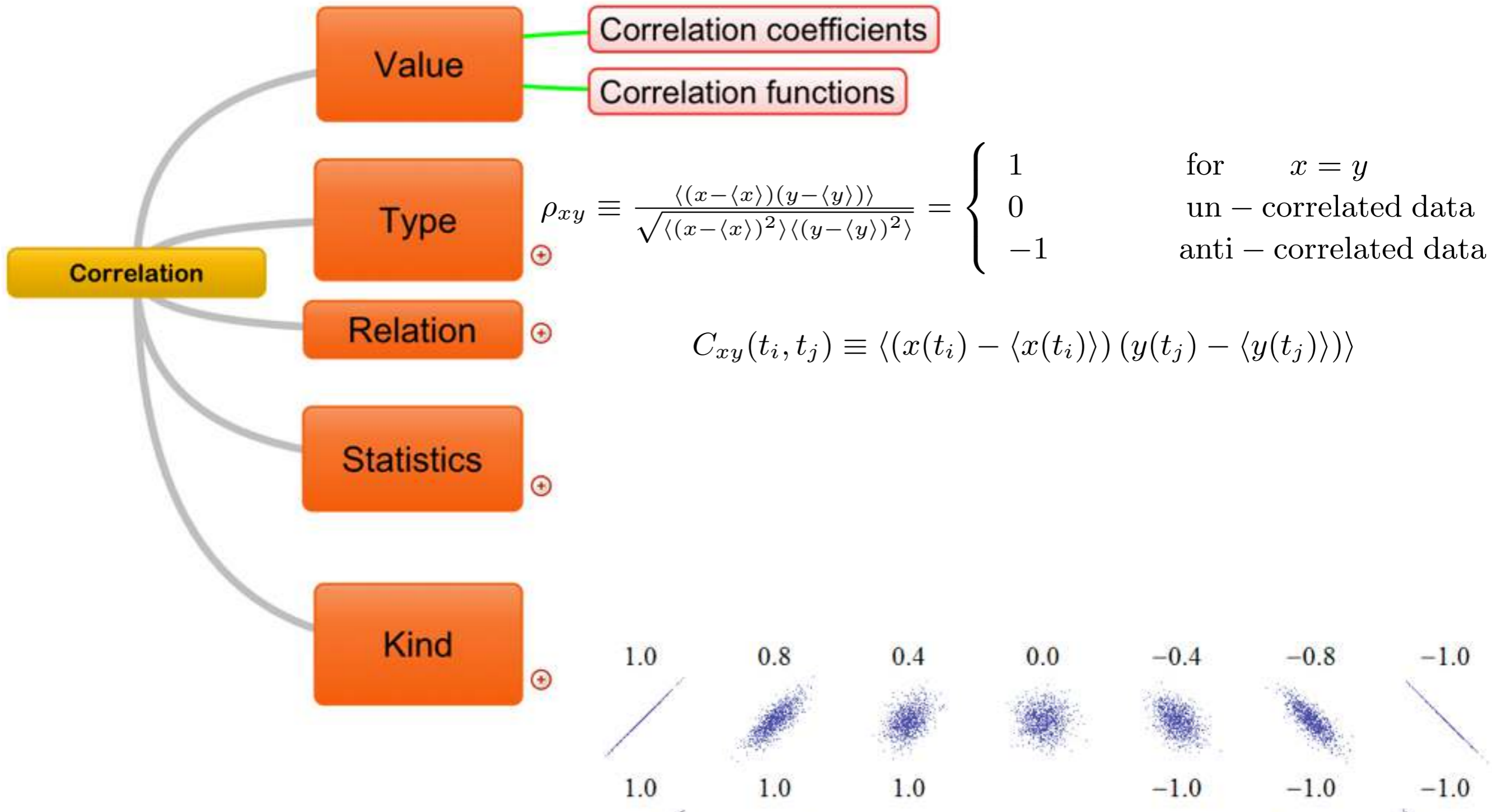
همبستگی آماری

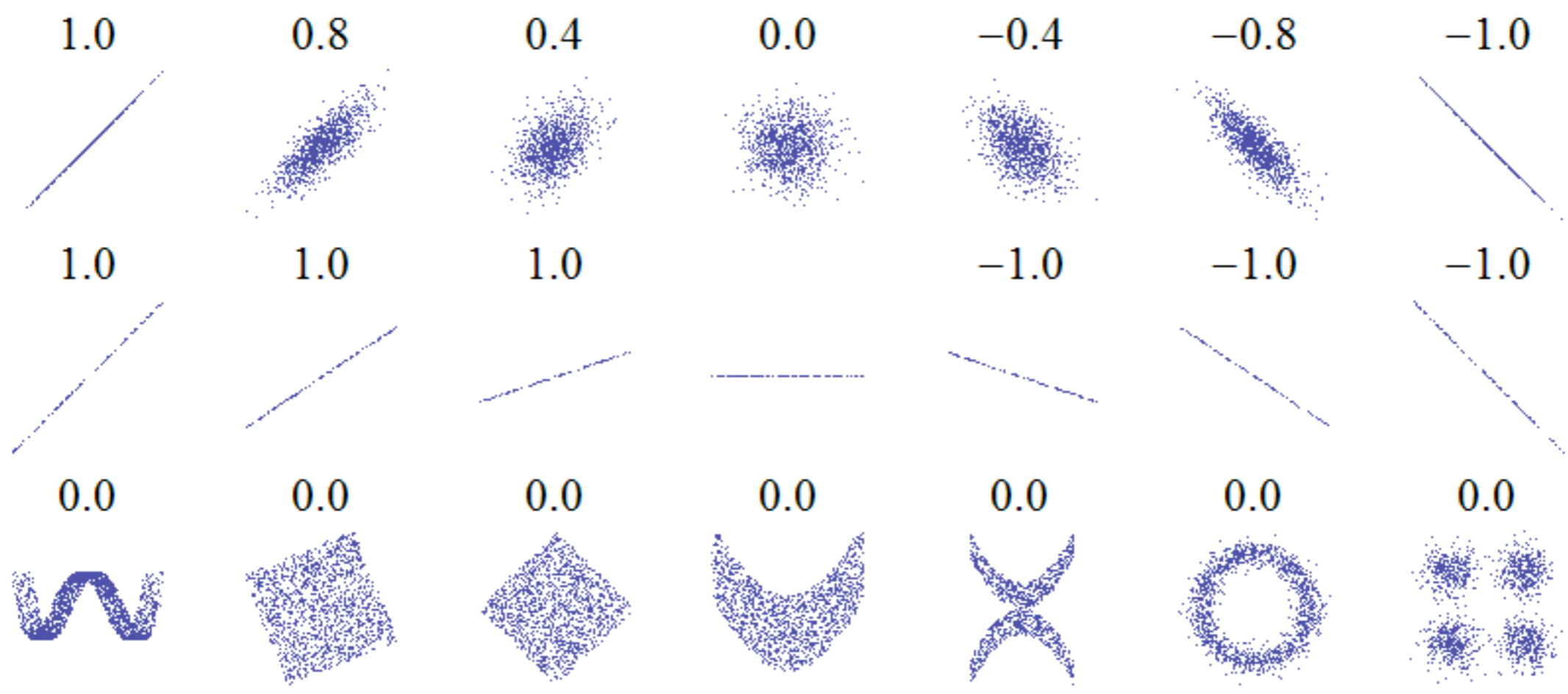
Statistical Correlation

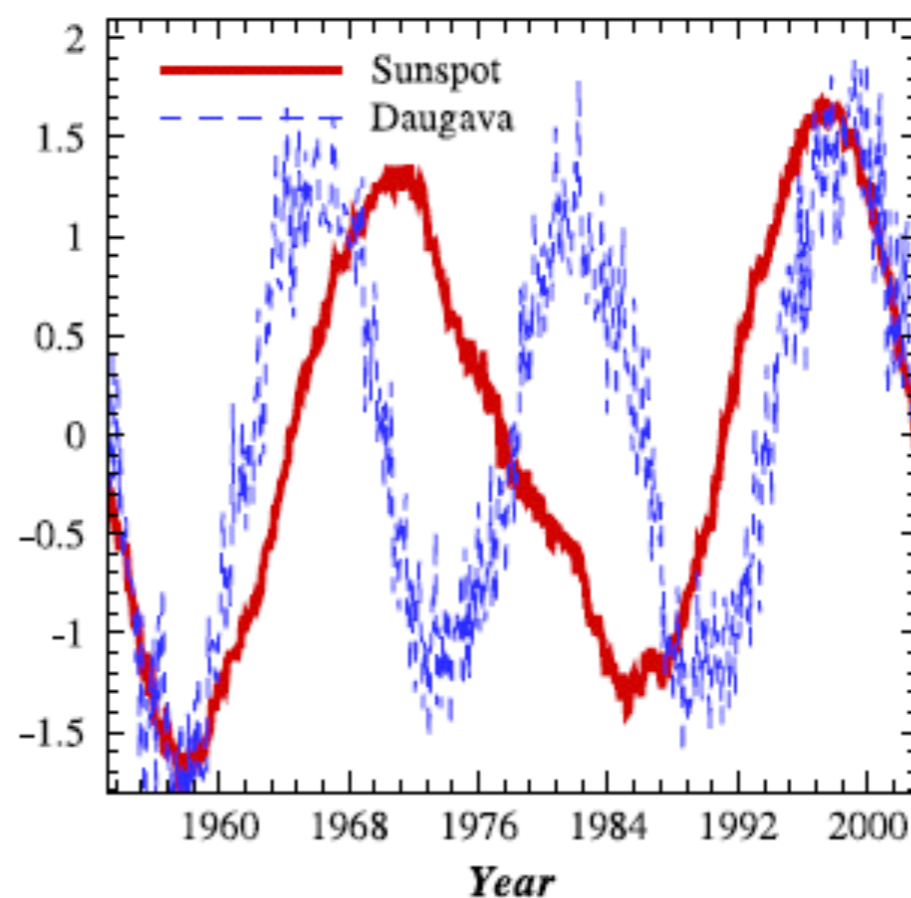
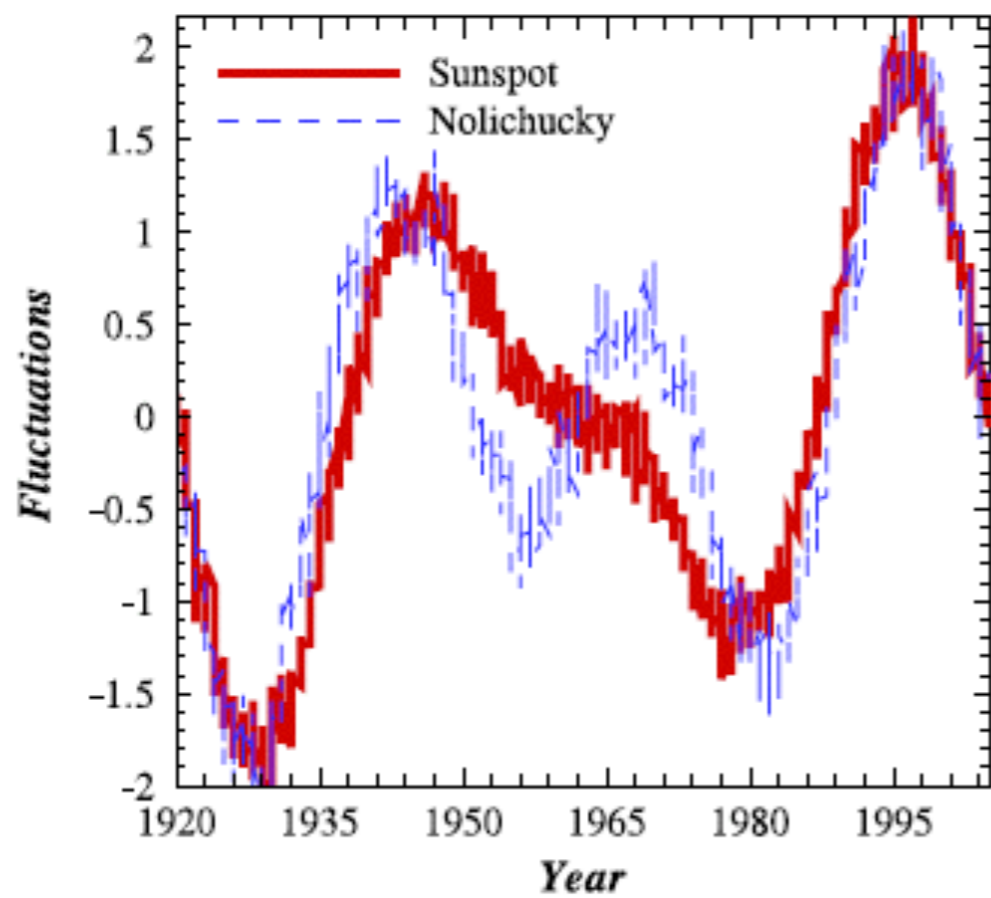
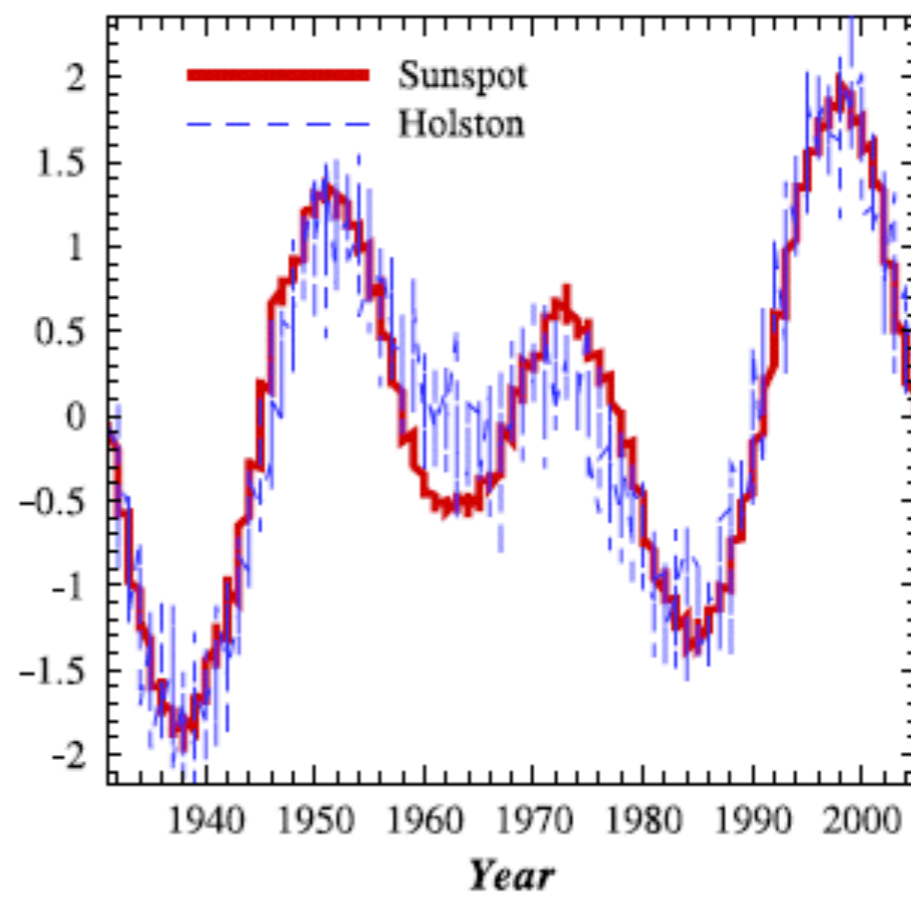
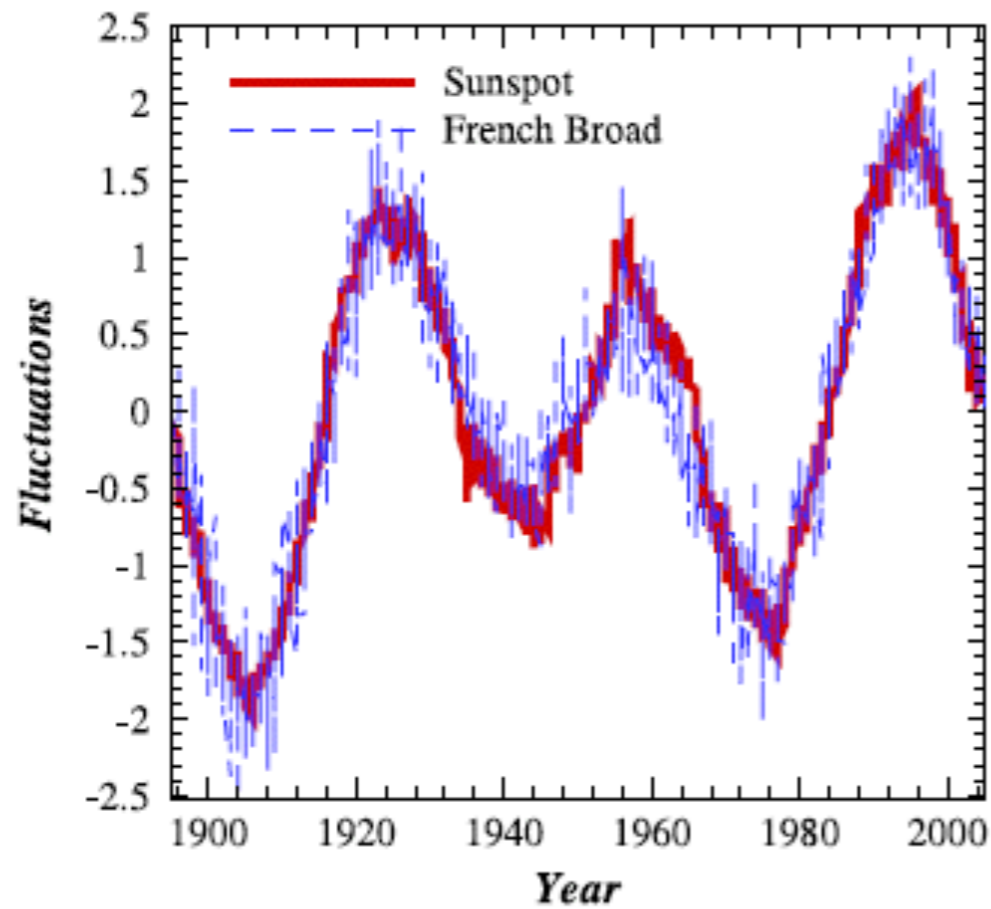
Classification of correlations



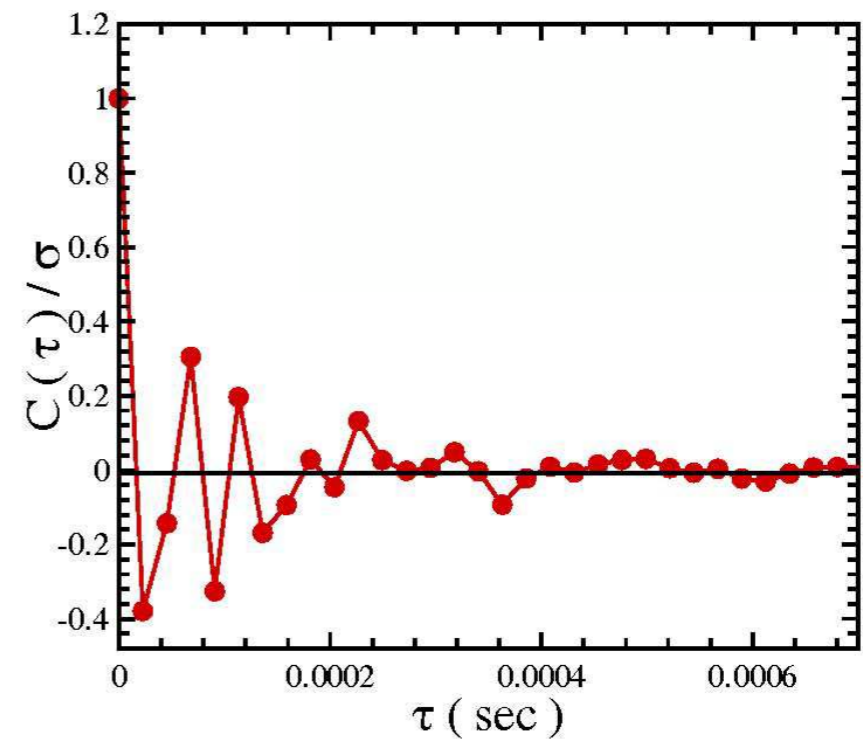
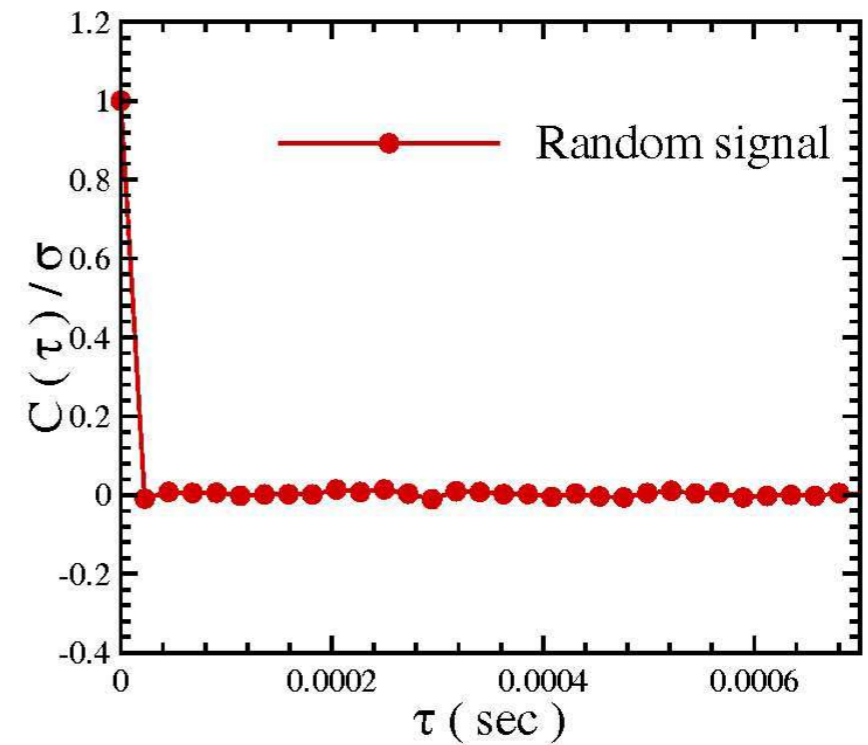
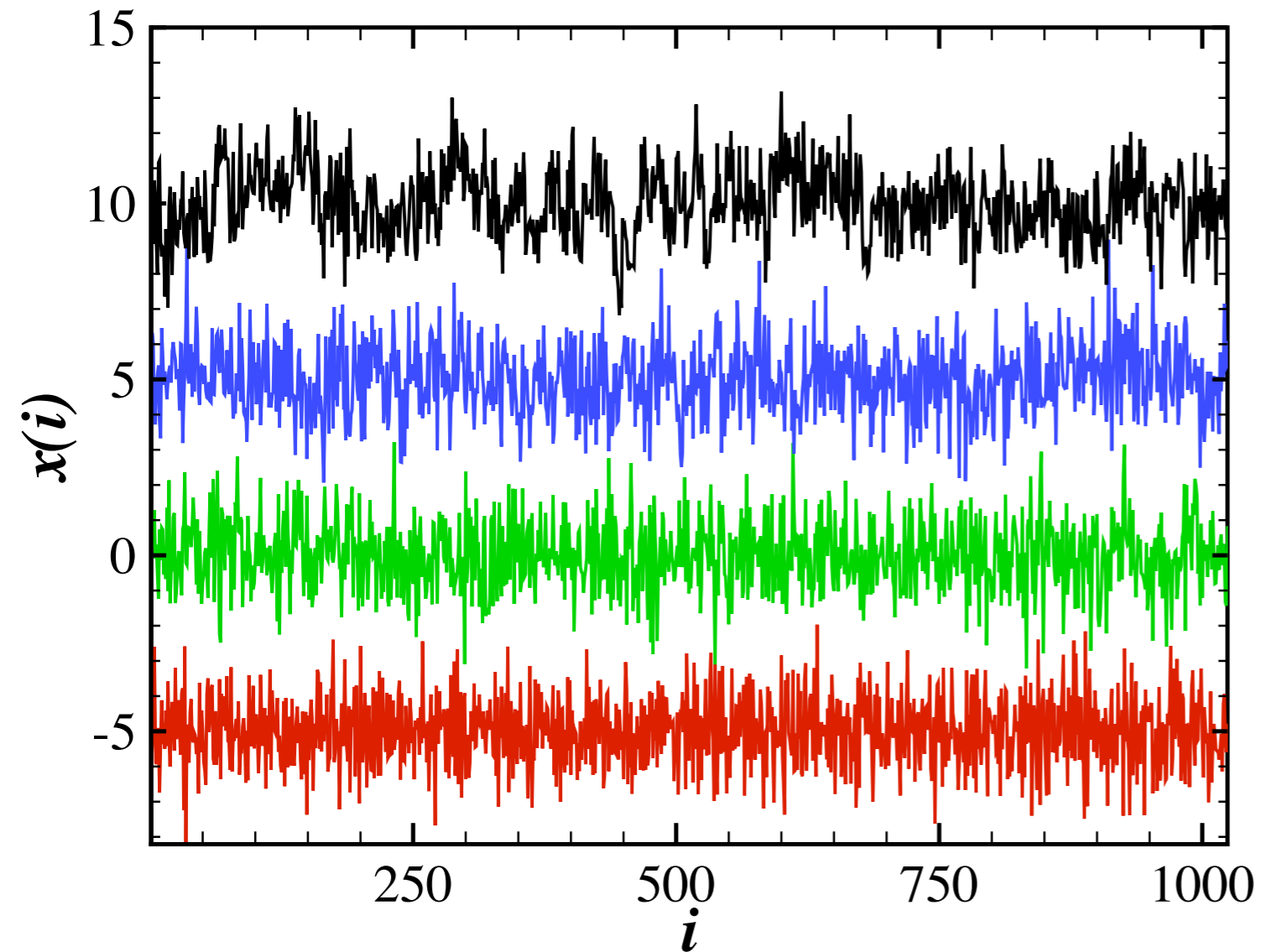
Classification of correlations



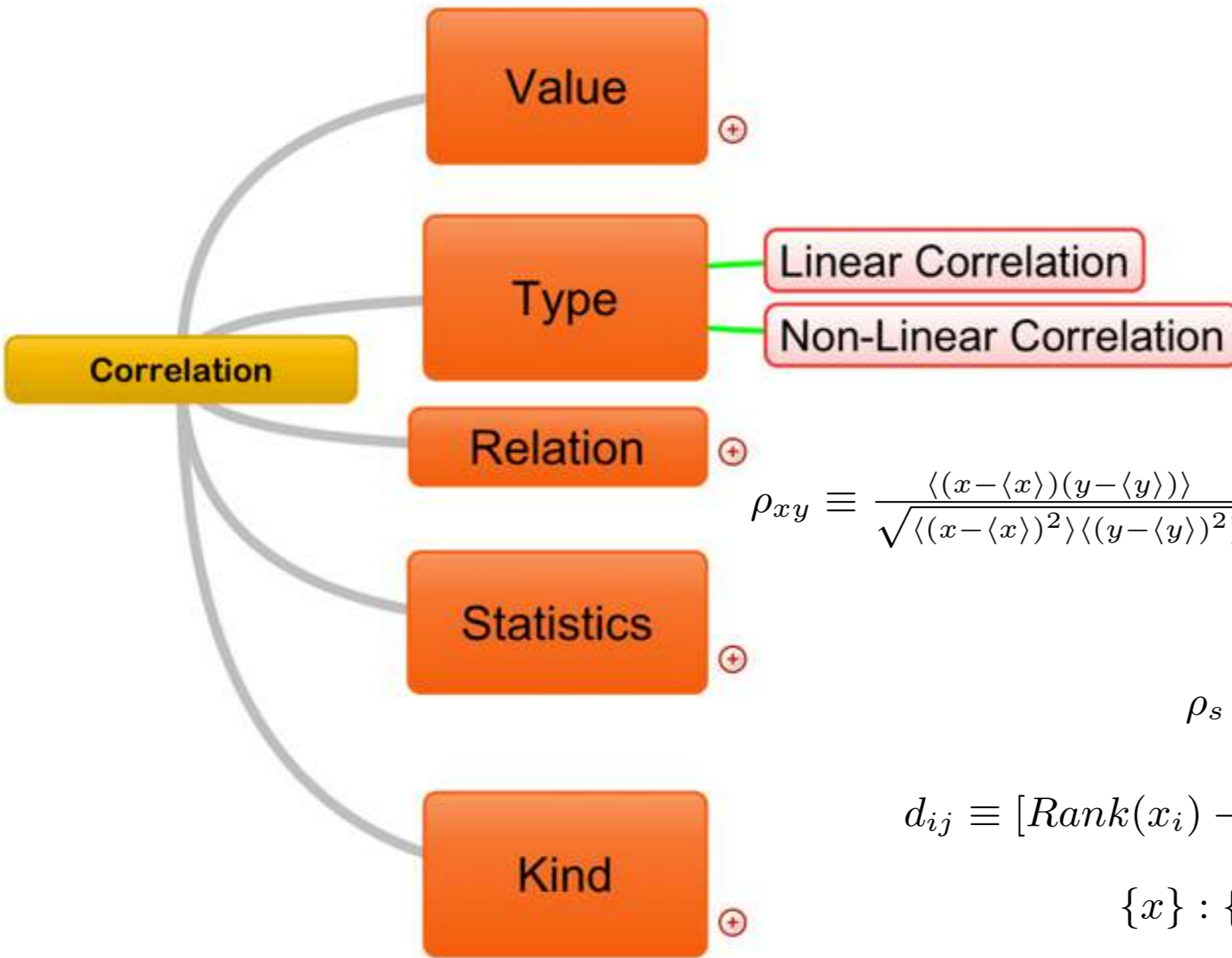




Anti-correlated, Uncorrelated and Correlated Gaussian noise



Classification of correlations



Pearson's coefficient
Spearman's coefficient

$$\rho_{xy} \equiv \frac{\langle (x - \langle x \rangle)(y - \langle y \rangle) \rangle}{\sqrt{\langle (x - \langle x \rangle)^2 \rangle \langle (y - \langle y \rangle)^2 \rangle}} = \begin{cases} 1 & \text{for } x = y \\ 0 & \text{un-correlated data} \\ -1 & \text{anti-correlated data} \end{cases}$$

$$\rho_s \equiv 1 - 6 \frac{\sum_{i,j} d_{ij}^2}{N(N^2 - 1)}$$

$$d_{ij} \equiv [\text{Rank}(x_i) - \text{Rank}(x_j)][\text{Rank}(y_i) - \text{Rank}(y_j)]$$

$$\{x\} : \{20, 100, 30, 50, 160, 10\}$$

$$\text{Rank}(x) : \{5, 2, 4, 3, 1, 6\}$$

Auto-correlation function

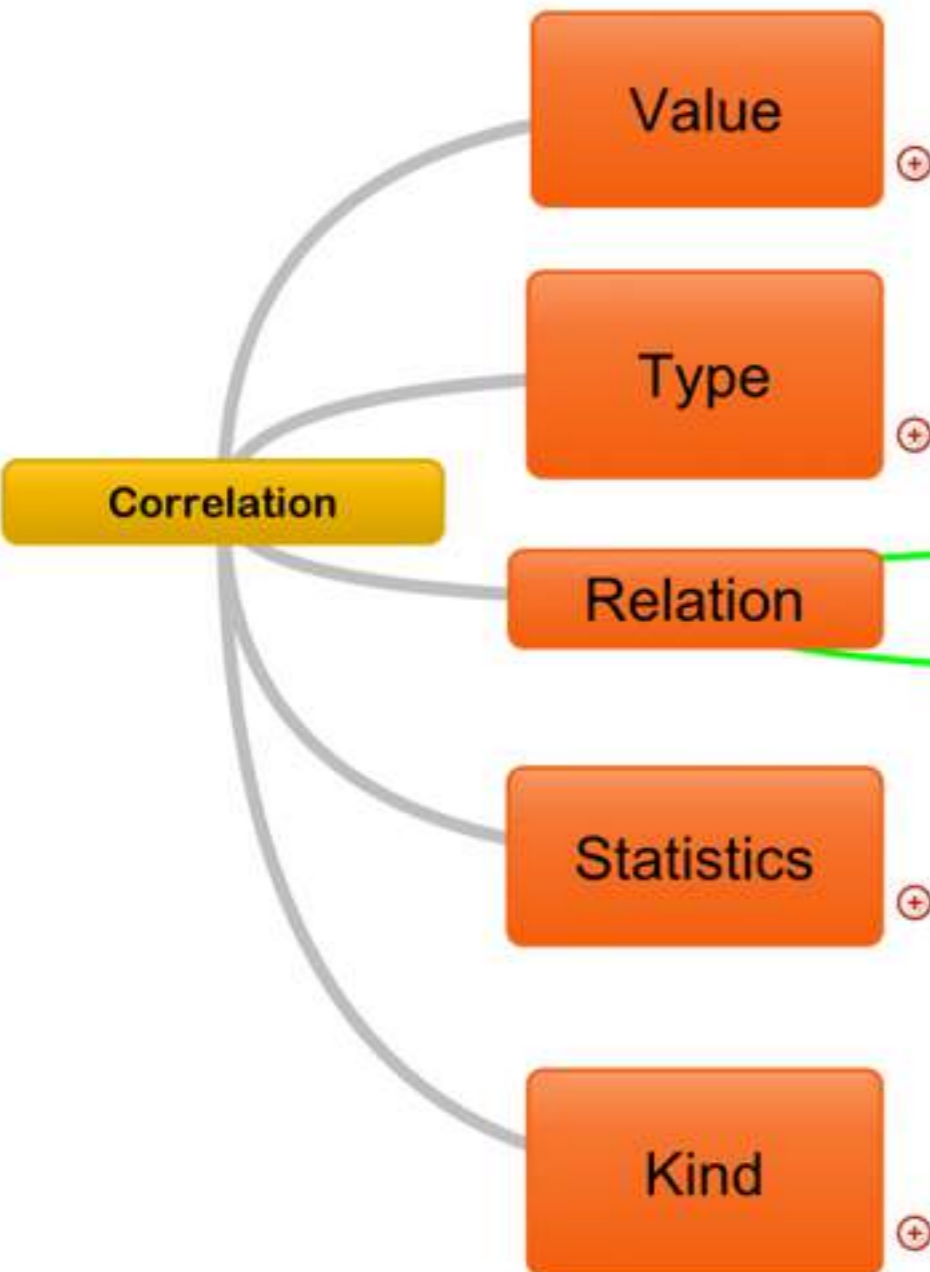
$$C_{xx}(t_i, t_j) \equiv \langle (x(t_i) - \langle x(t_i) \rangle) (x(t_j) - \langle x(t_j) \rangle) \rangle$$

$$C_{xy}(t_i, t_j) \equiv \langle (x(t_i) - \langle x(t_i) \rangle) (y(t_j) - \langle y(t_j) \rangle) \rangle$$

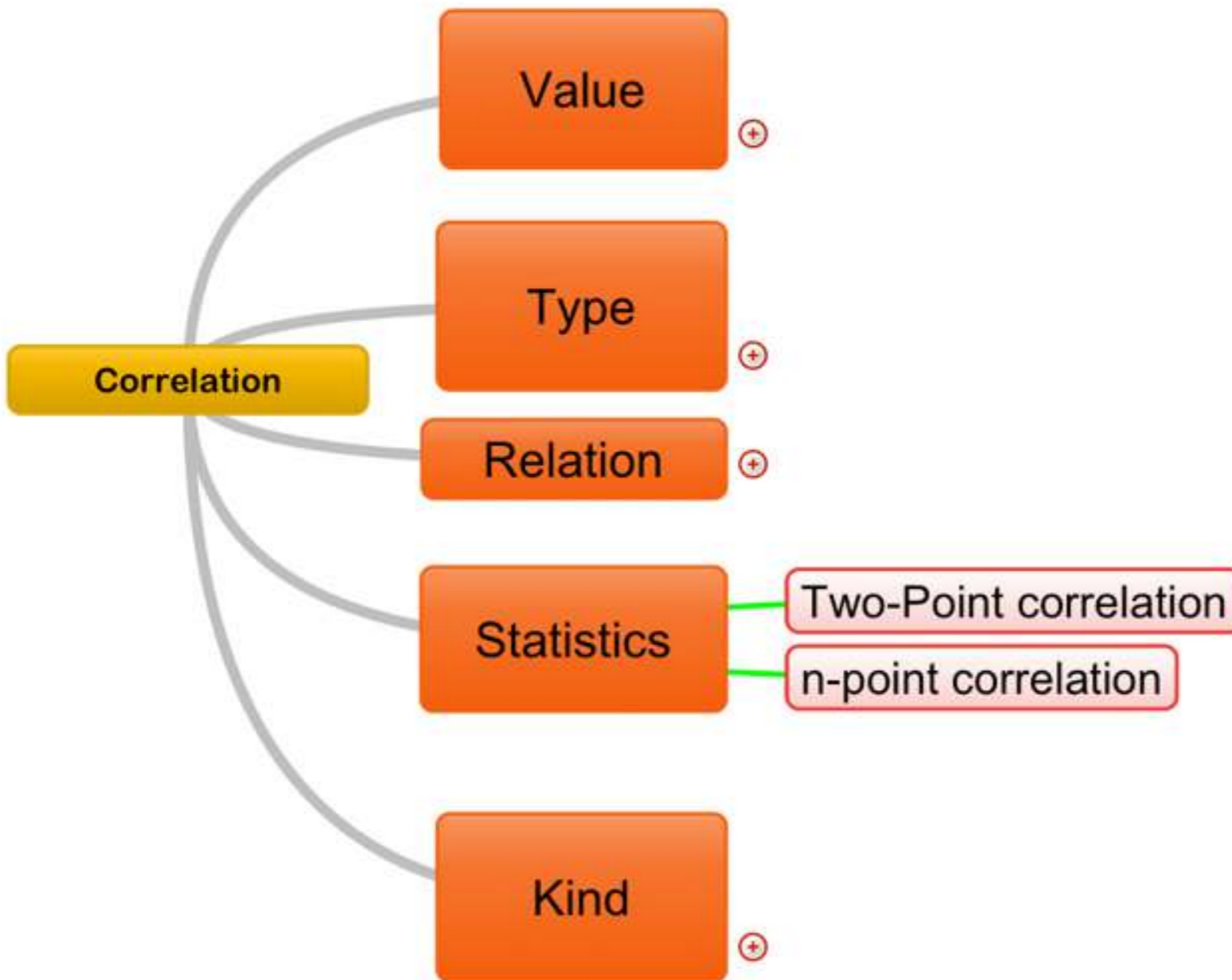
Cross-correlation function

$$\rho_{xy} \equiv \frac{\langle (x - \langle x \rangle)(y - \langle y \rangle) \rangle}{\sqrt{\langle (x - \langle x \rangle)^2 \rangle \langle (y - \langle y \rangle)^2 \rangle}} = \begin{cases} 1 & \text{for } x = y \\ 0 & \text{un-correlated data} \\ -1 & \text{anti-correlated data} \end{cases}$$

Cross-correlation coefficient



Classification of correlations



$$C_{xx}(t_i, t_j) \equiv \langle (x(t_i) - \langle x(t_i) \rangle) (x(t_j) - \langle x(t_j) \rangle) \rangle$$

$$C_{xxx}(t_i, t_j, t_k) \equiv \langle (x(t_i) - \langle x(t_i) \rangle) (x(t_j) - \langle x(t_j) \rangle) (x(t_k) - \langle x(t_k) \rangle) \rangle$$

تابع همبستگی وزن دار

Weighted Correlation function

$$C_{xy}^x(t_1, t_2) = \langle x(t_1)y(t_2) \rangle_{ensemble}$$

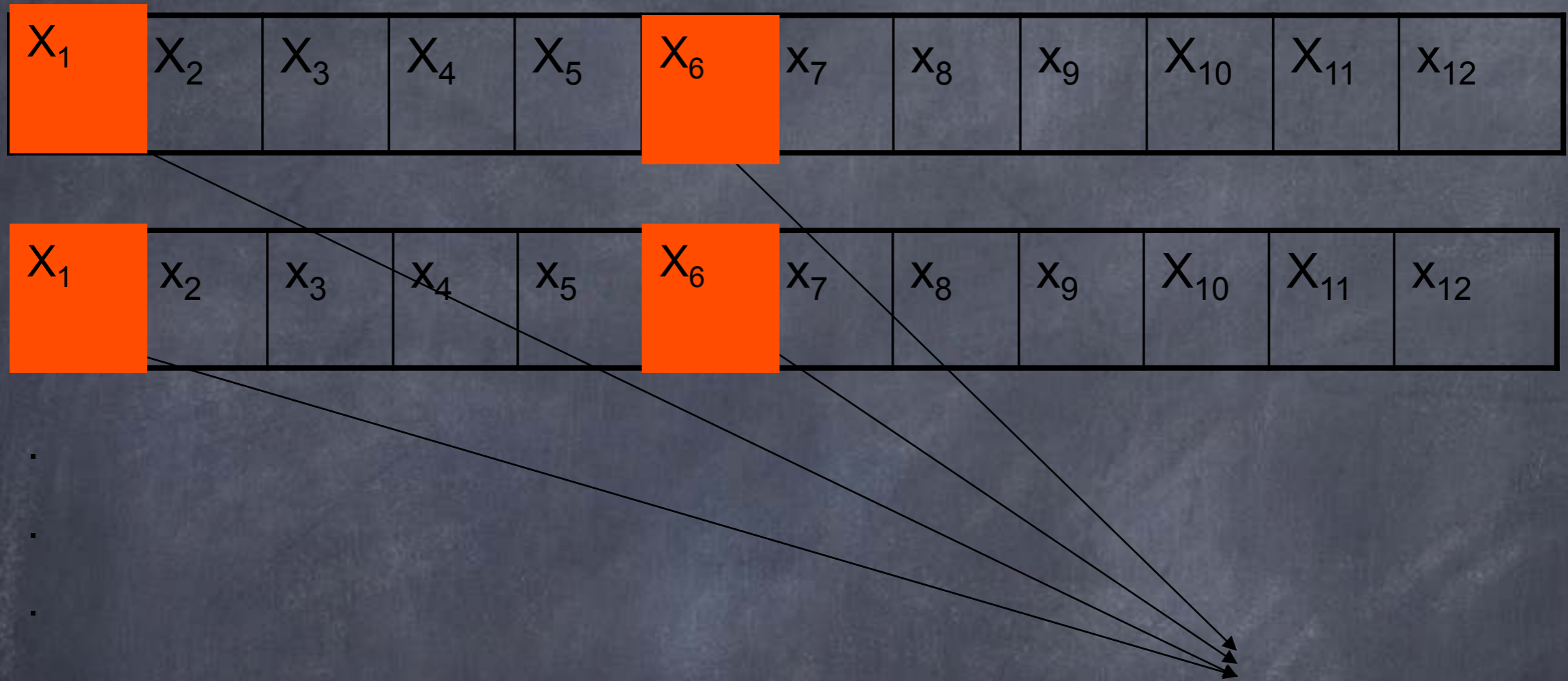
$$C_x(t_1, t_2) = \langle x(t_1)x(t_2) \rangle_{ensemble}$$

For stationary processes

$$C_x(\tau) = C_x(t_1, t_2)$$

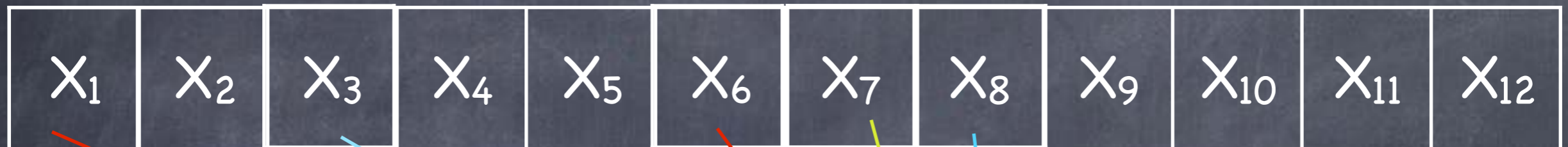
$$C_x(\tau) = \langle x(t + \tau)x(t) \rangle$$

Auto-correlation (Ensemble averaging)



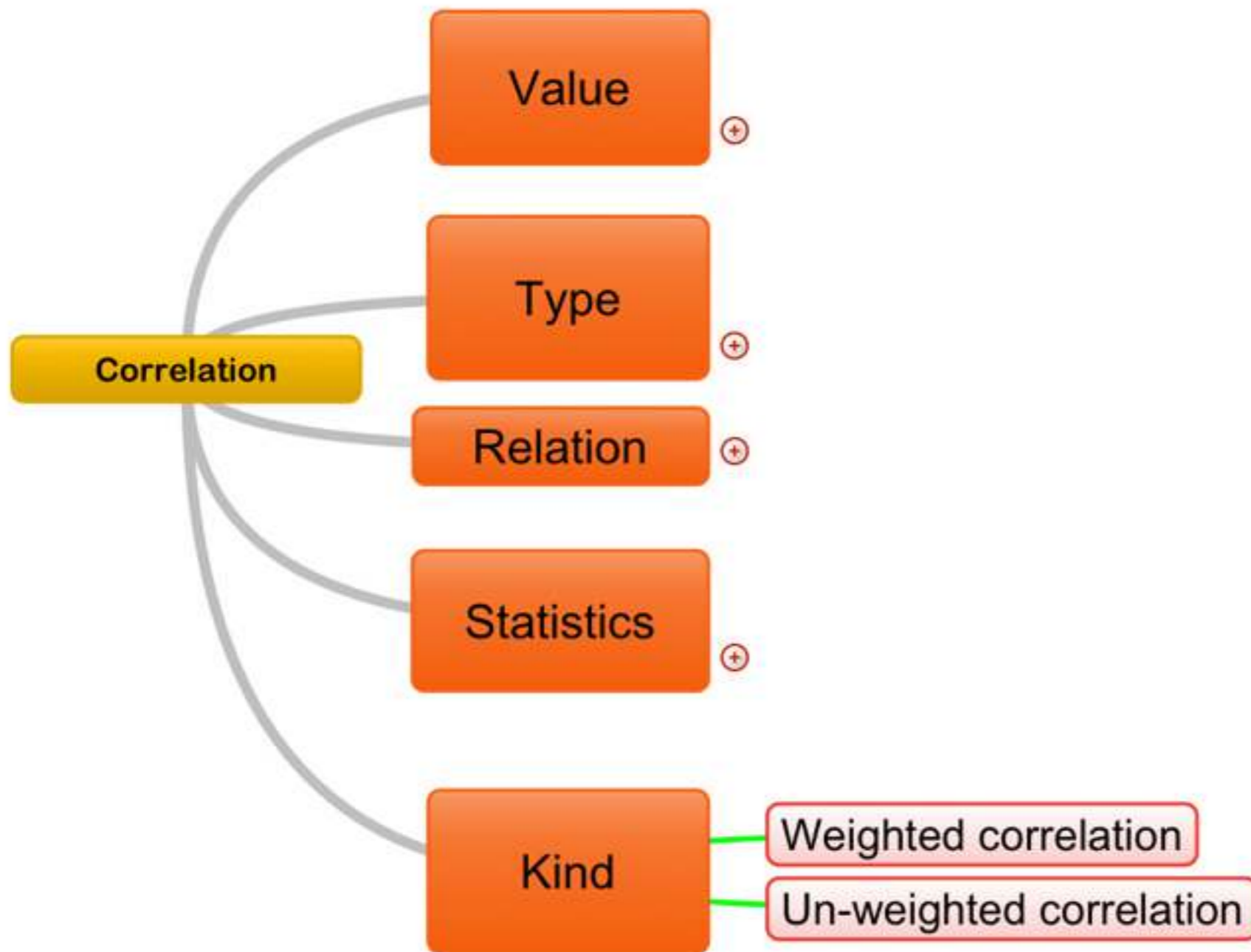
$$C(1,6) = \langle (X(1) - \bar{X})(X(6) - \bar{X}) \rangle = \frac{1}{N} \sum_{k=1}^N X_k(1)X_k(6)$$

Auto-correlation (Time averaging)



$$C(1,6) = \langle (X(1) - \bar{X})(X(6) - \bar{X}) \rangle = \langle X(k+1)X(k) \rangle = \frac{1}{N-5} \sum_{k=1}^{N-5} X(k+5)X(k)$$

Classification of correlations



در تابع همبستگی وزن دار مقدار داده ها در تولید این تابع نقش مستقیم دارند. اتفاقاً به همین دلیل هم تنوعی در آن نداریم. اما می خواهیم اشاره کنم به اینکه در نوع غیروزن دار دقیقاً داستان برعکس است.

Weighted Two-Point Correlation function
TPCF

Un-weighted Two-Point Correlation function
TPCF

• با توجه به مفهوم وزن که در یک جدیدی والته گسترده برای ما فراهم می‌کند که بتوانیم درج همگنی را تعریف کنیم که در نتیجه در آن خواص آمار متنوعی را برای یک فرآیند تعریف و تعیین کنیم

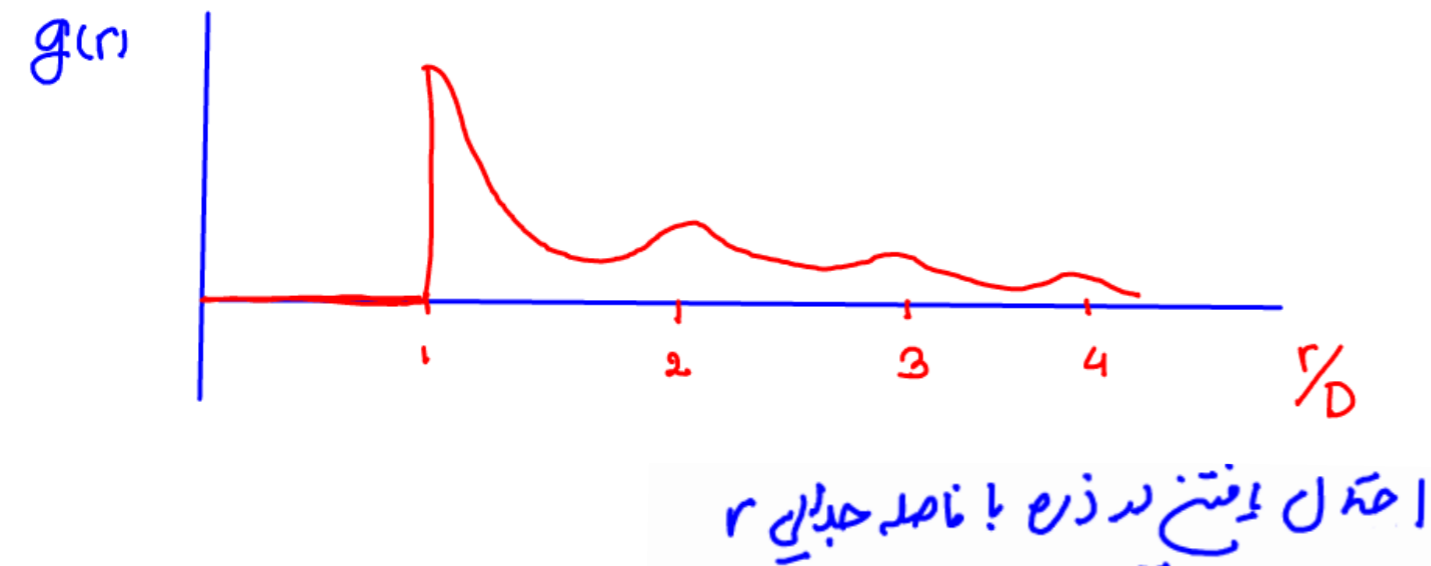
• عبارت کلیدی برای تعریف درج همگنی در آن وزن اصل افز Excess Probability

g(R) and its relation to thermodynamics

$$H = \sum_{i=1}^{3N} \frac{p_i^2}{2m} + \frac{1}{2} \sum_{ij}' u_{ij}$$

$$u(r) = u(r_{ij}) = \begin{cases} 0 & \text{for } r > D \\ \infty & \text{for } r \leq D \end{cases}$$

Steric Repulsion



$$U(N, V, T) = \langle H \rangle = \frac{dNkT}{2} + \frac{nN}{2} \int u(r)g(r)dr.$$

$$P = nkT \left(1 - \frac{n}{2dkT} \int \frac{du}{dr} rg(r)dr \right)$$

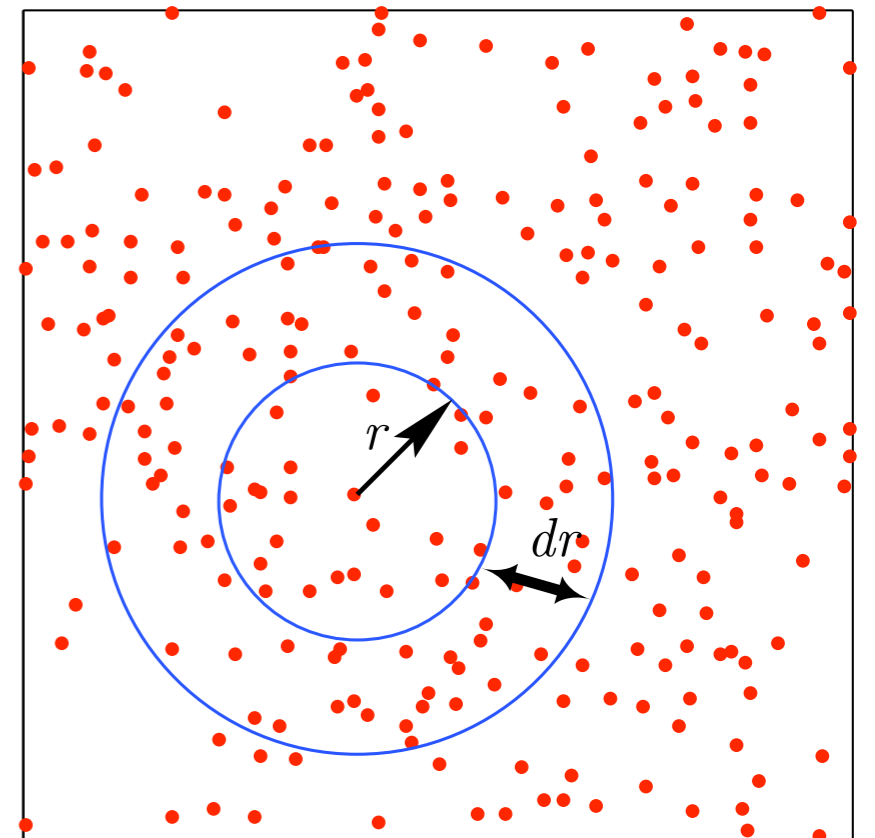
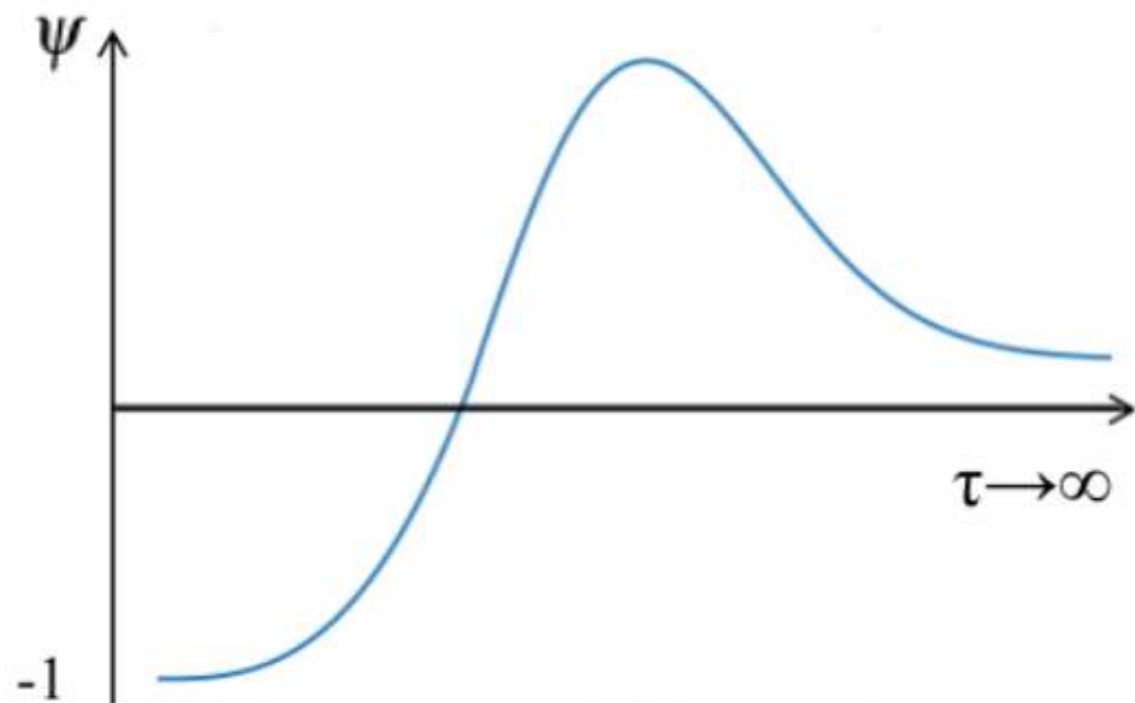
$$C_{xx}(t_i, t_j) \equiv \langle (x(t_i) - \langle x(t_i) \rangle) (x(t_j) - \langle x(t_j) \rangle) \rangle$$

$$C_{xx}(\tau) \equiv \langle (x(t_i) - \langle x(t_i) \rangle) (x(t_i + \tau) - \langle x(t_i + \tau) \rangle) \rangle$$

$$p_{joint}(x_i, x_j; \tau) \equiv p(x_i, t_i) p(x_j, t_i + \tau) [1 + \Psi(x_i, x_j; \tau)]$$

$$\langle \mathcal{N}(R) \rangle_{pair} = N_{pair} (1 + \Psi_{pair}(R))$$

$$\Psi_{pair}(R) = \frac{\langle \mathcal{N}(R) \rangle_{pair}}{N_{pair}} - 1$$

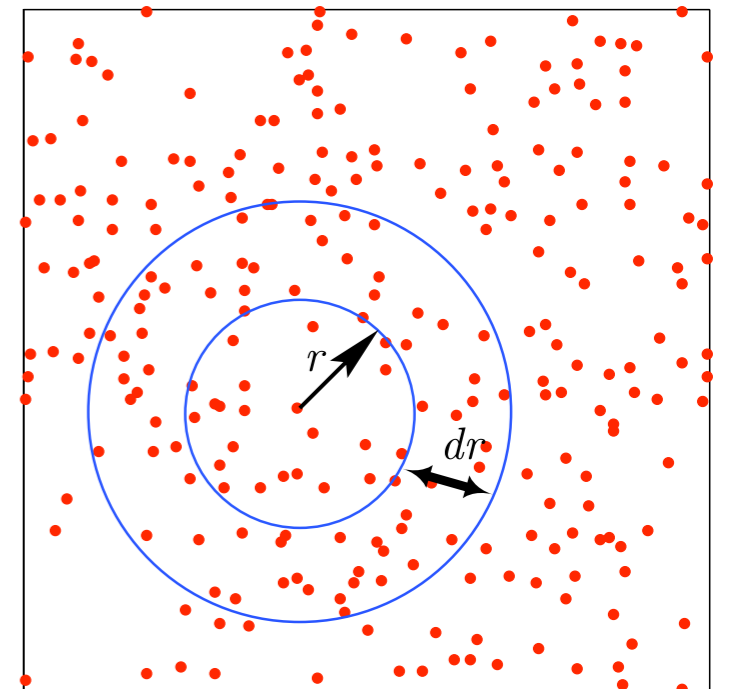
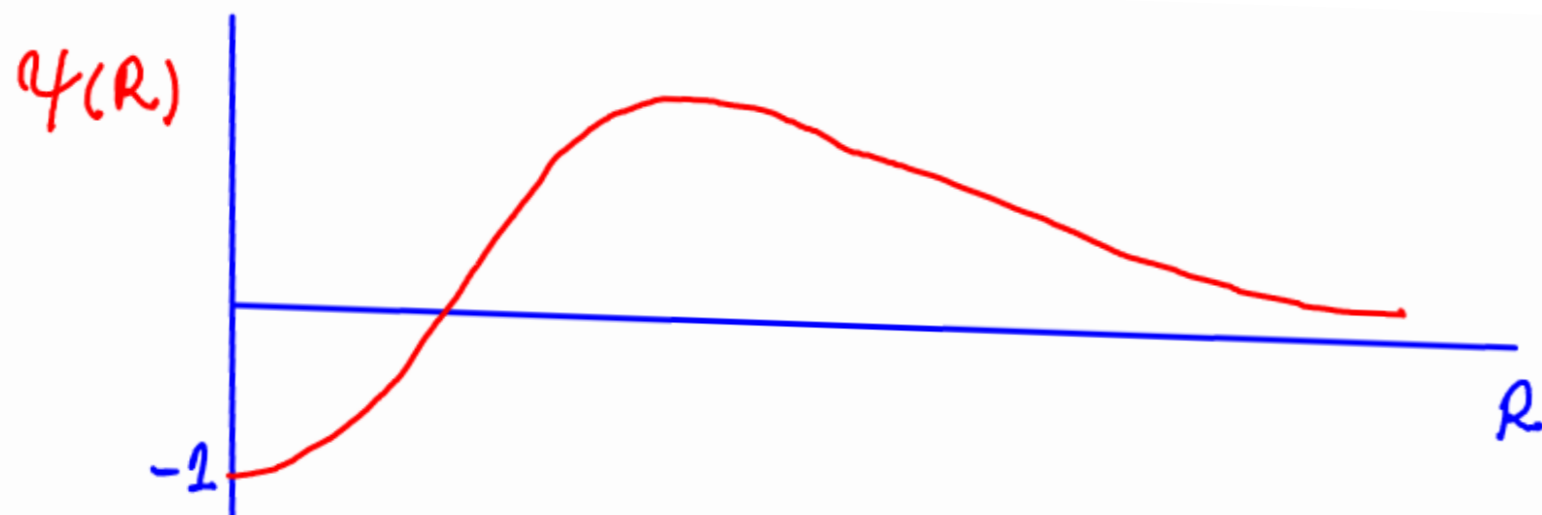


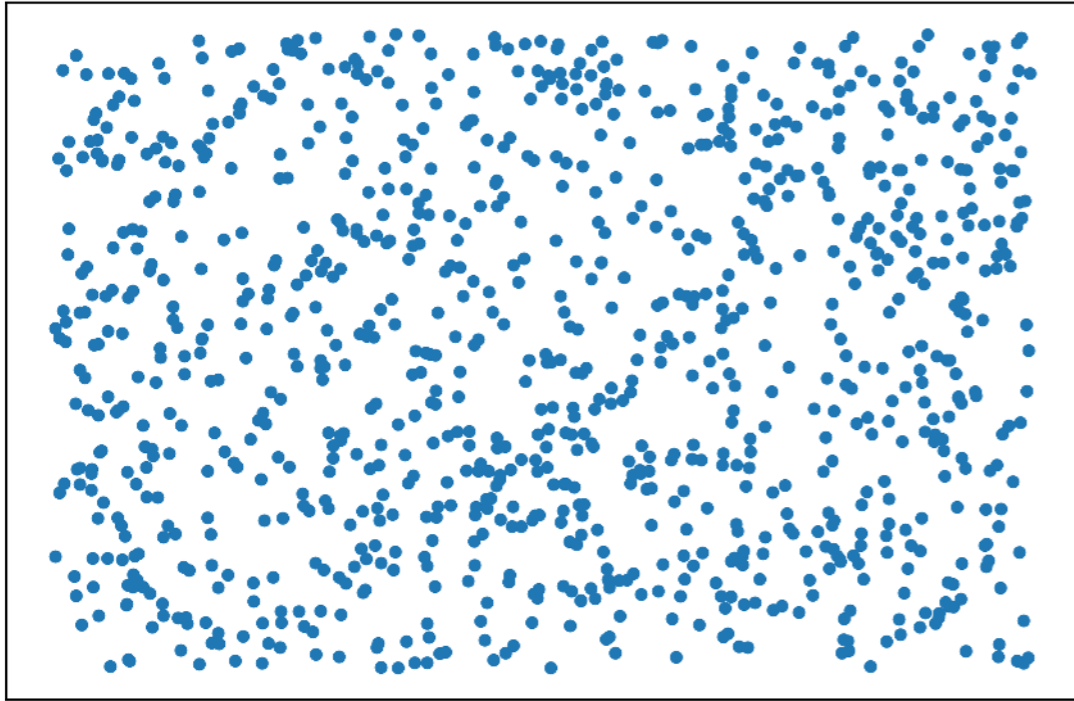
تابع همبستگی غیروزندار Un-weighted TPCF

- این تابع مثبتی بر مفهوم احتمال اضافی یافتن یک ویژگی دلخواه تعریف می شود.

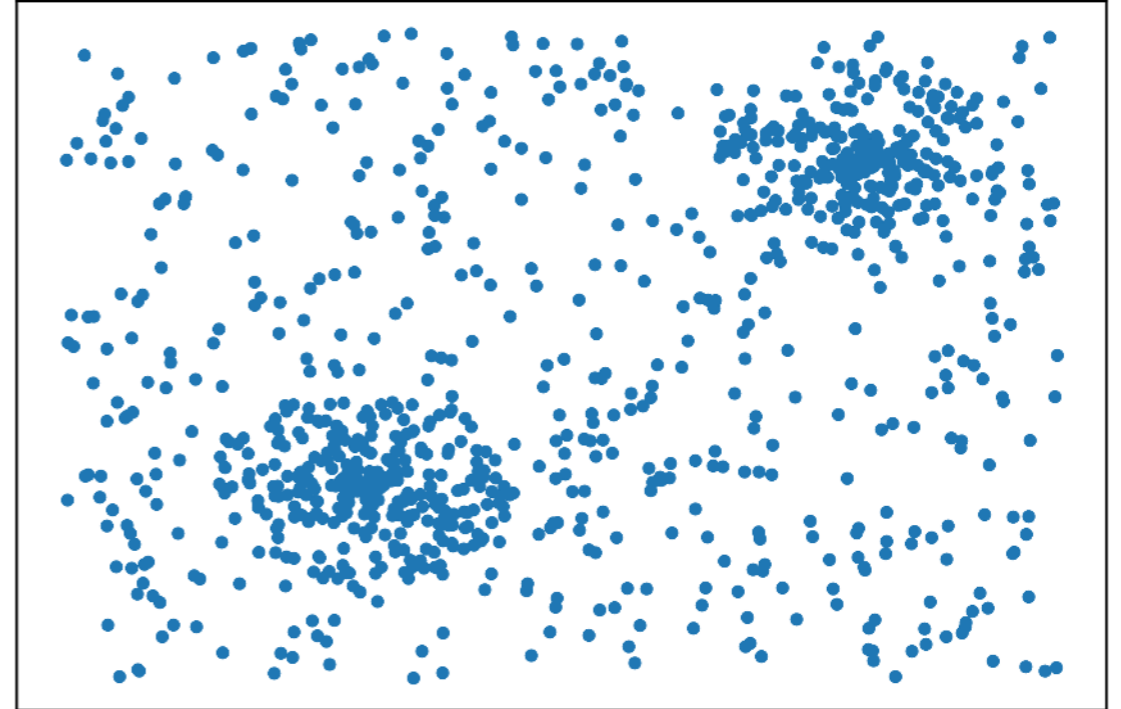
$$P(x(t_i) \text{ و } x(t_j)) = P(x(t_i)) P(x(t_j)) [1 + \psi_x(t_i, t_j)]$$

$$N_x^{\text{Pair}}(t_i, t_j) = \bar{n}_{\text{pair}} |t_j - t_i| [1 + \psi_{\text{pair}}(t_i, t_j)]$$





$$\Psi_{pair}(R) = 0 \quad \text{for all } R$$



$$\Psi_{pair}(R) \geq 0 \quad \text{for } R = R_0$$

Clustering of features

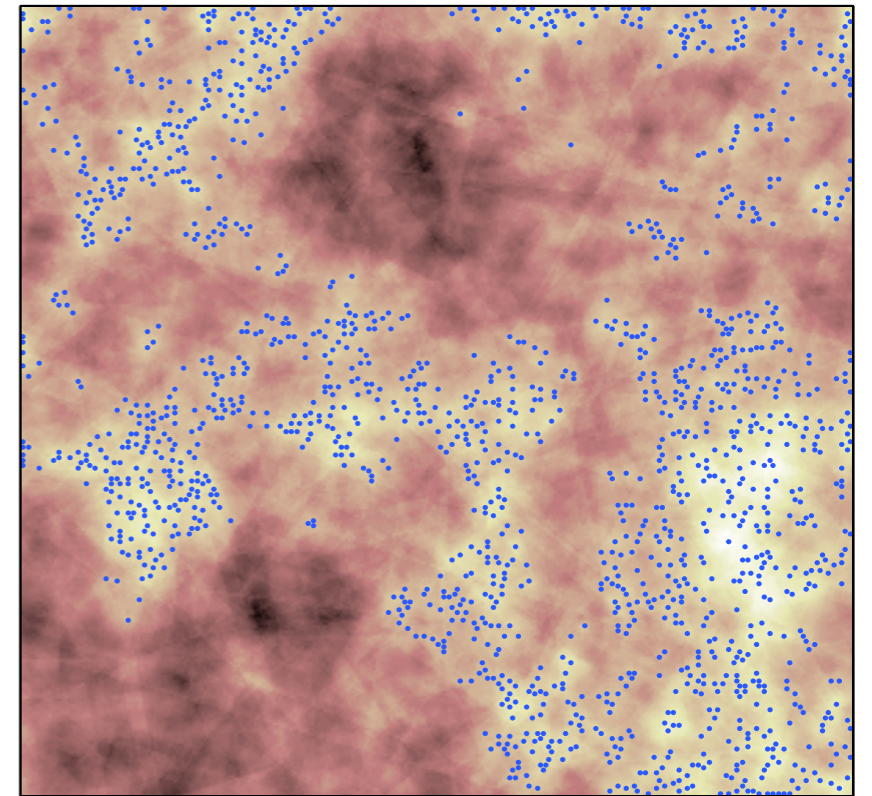
Un-weighted correlation function

This is unweighted pixel correlations with particular conditions

$$\langle n(\vec{r}_1) n(\vec{r}_2) \rangle = \langle n(\vec{r}_1) \rangle \langle n(\vec{r}_2) \rangle [1 + \psi(R)]$$

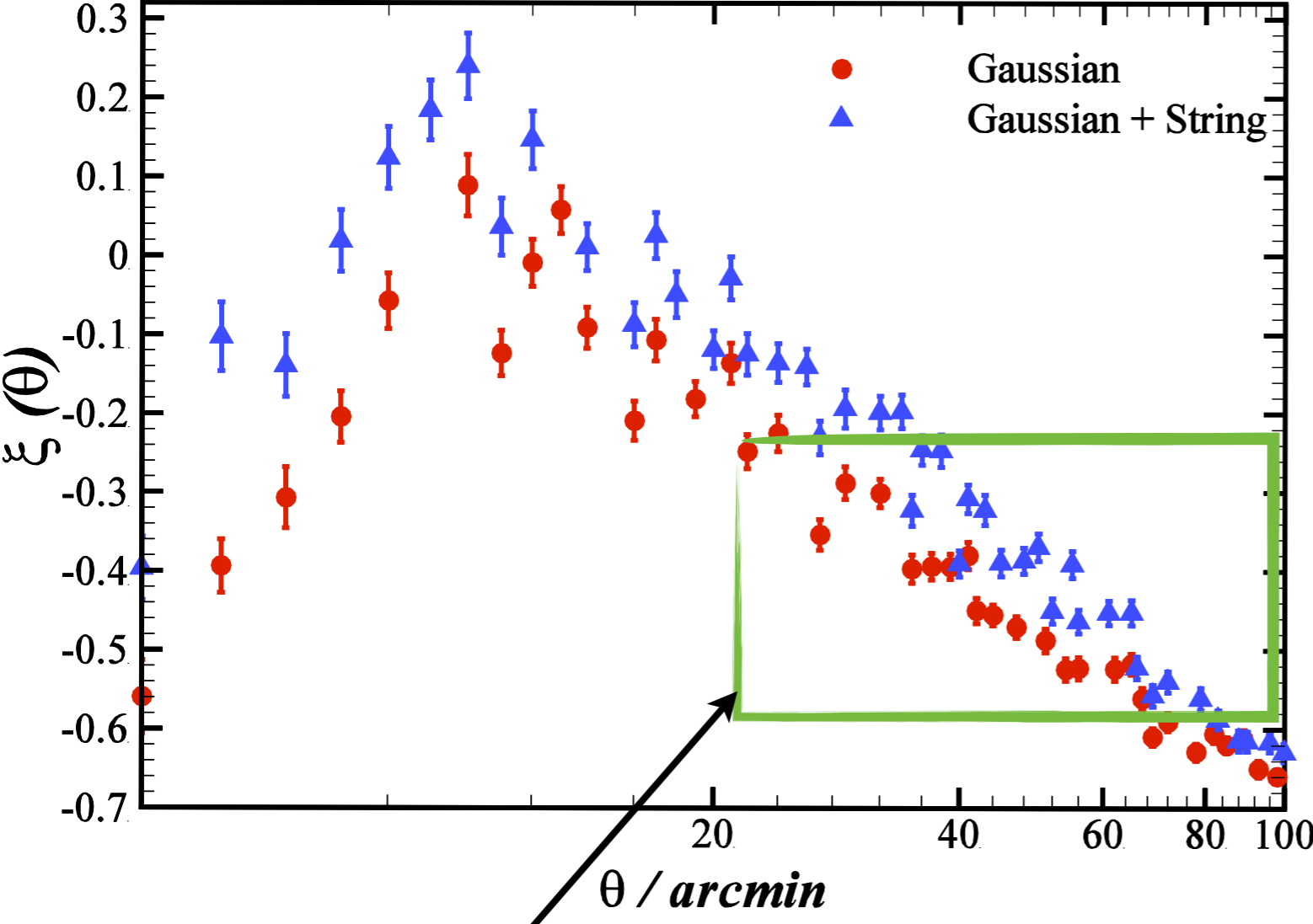
$$\psi(R) = \frac{\langle n(\vec{r}_1) n(\vec{r}_2) \rangle}{\langle n(\vec{r}_1) \rangle \langle n(\vec{r}_2) \rangle} - 1$$

$$\psi(R) + 1 = \frac{1}{\langle n(\vec{r}_1) \rangle \langle n(\vec{r}_2) \rangle} \int dA^\mu dA^\nu \text{T.F. } P(A^\mu, A^\nu)$$



جلسه بعد از ظهر را ببینید

A challenge: Finite size effect:



not reliable part

A challenge: Finite size effect: **Solution**

$$\Psi_{\diamond-\diamond}^N(r; \vartheta_1, \vartheta_2) = \left(\frac{D_{\diamond}(\mathbf{r}_1, \vartheta_1) D_{\diamond}(\mathbf{r}_2, \vartheta_2)}{R_{\diamond}(\mathbf{r}_1, \vartheta_1) R_{\diamond}(\mathbf{r}_2, \vartheta_2)} \right) \frac{N_R^{\diamond} (N_R^{\diamond} - 1)}{N_D^{\diamond} (N_D^{\diamond} - 1)} - 1$$

$$\Psi_{\diamond-\diamond}^H(r; \vartheta_1, \vartheta_2) = \frac{R_{\diamond}(\mathbf{r}_1, \vartheta_1) R_{\diamond}(\mathbf{r}_2, \vartheta_2) D_{\diamond}(\mathbf{r}_1, \vartheta_1) D_{\diamond}(\mathbf{r}_2, \vartheta_2)}{[D_{\diamond}(\mathbf{r}_1, \vartheta_1) R_{\diamond}(\mathbf{r}_2, \vartheta_2)]^2} - 1$$

$$\Psi_{\diamond-\diamond}^{LS}(r; \vartheta_1, \vartheta_2) = \left(\frac{D_{\diamond}(\mathbf{r}_1, \vartheta_1) D_{\diamond}(\mathbf{r}_2, \vartheta_2)}{R_{\diamond}(\mathbf{r}_1, \vartheta_1) R_{\diamond}(\mathbf{r}_2, \vartheta_2)} \right) \frac{N_R^{\diamond} (N_R^{\diamond} - 1)}{N_D^{\diamond} (N_D^{\diamond} - 1)} - \left(\frac{D_{\diamond}(\mathbf{r}_1, \vartheta_1) R_{\diamond}(\mathbf{r}_2, \vartheta_2)}{R_{\diamond}(\mathbf{r}_1, \vartheta_1) R_{\diamond}(\mathbf{r}_2, \vartheta_2)} \right) \frac{N_R^{\diamond} (N_R^{\diamond} - 1)}{N_D^{\diamond} N_R^{\diamond}} + 1$$

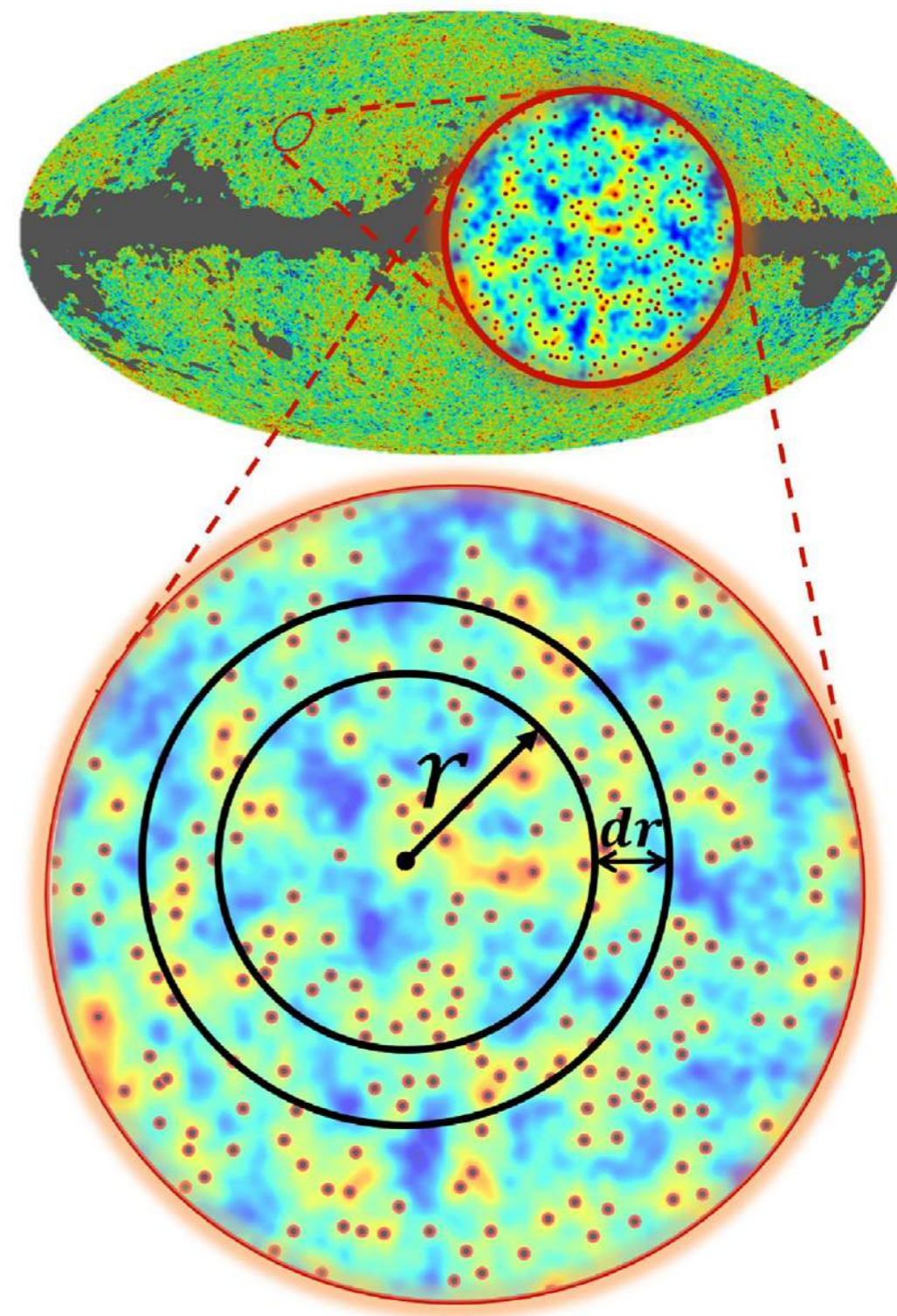
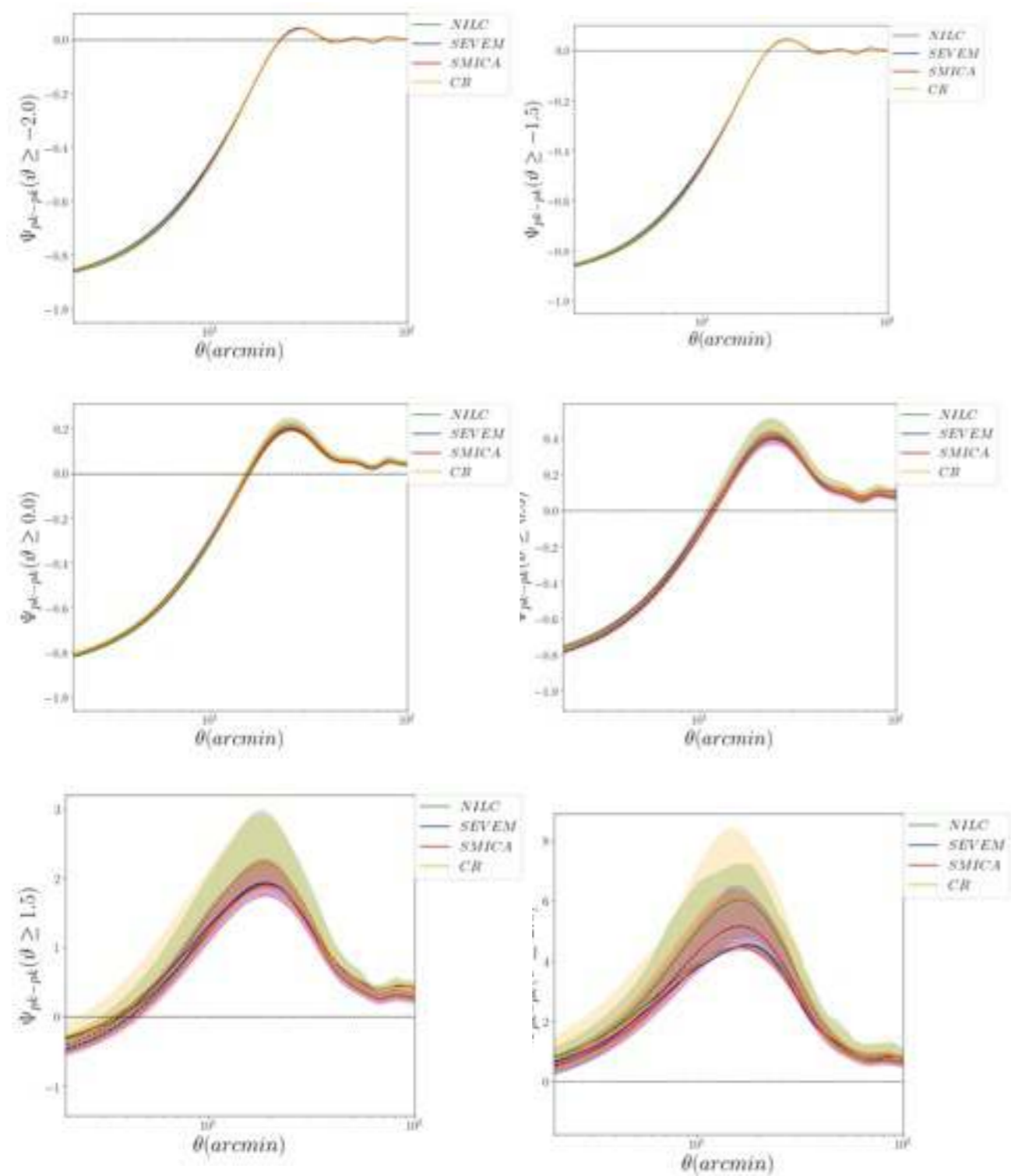
Some examples

Clustering of local extrema in *Planck* CMB maps

A. Vafaei Sadr¹ and S. M. S. Movahed^{2,1}★

¹School of Physics, Institute for Research in Fundamental Sciences (IPM), PO Box 19395-5531, Tehran, Iran

²Department of Physics, Shahid Beheshti University, 1983969411, Tehran, Iran



Probing cosmology via the clustering of critical points

Junsup Shim¹★, Christophe Pichon^{2,3,4}, Dmitri Pogosyan⁵,
Stephen Appleby^{6,7}, Corentin Cadiou⁸, Juhan Kim⁹, Katarina Kraljic¹⁰, and Changbom Park²

¹ *Institute of Astronomy and Astrophysics, Academia Sinica, No.1, Sec. 4, Roosevelt Rd, Taipei 10617, Taiwan*

² *School of Physics, Korea Institute for Advanced Study, 85 Hoegi-ro, Dongdaemun-gu, Seoul, 02455, Republic of Korea*

³ *CNRS and Sorbonne Université, UMR 7095, Institut d'Astrophysique de Paris, 98 bis Boulevard Arago, F-75014 Paris, France*

⁴ *Université Paris-Saclay, CNRS, CEA, Institut de physique théorique, 91191, Gif-sur-Yvette, France.*

⁵ *Department of Physics, University of Alberta, 11322-89 Avenue, Edmonton, Alberta, T6G 2G7, Canada.*

⁶ *Asia Pacific Center for Theoretical Physics, Pohang, 37673, Republic of Korea*

⁷ *Department of Physics, POSTECH, Pohang, 37673, Republic of Korea*

⁸ *Lund Observatory, Division of Astrophysics, Department of Physics, Lund University, Box 43, SE-221 00 Lund, Sweden*

⁹ *Center for Advanced Computation, Korea Institute for Advanced Study, 85 Hoegiro, Dongdaemun-gu, Seoul 02455, Republic of Korea*

¹⁰ *Observatoire Astronomique de Strasbourg. Université de Strasbourg. CNRS. UMR 7550. F-67000 Strasbourg. France*

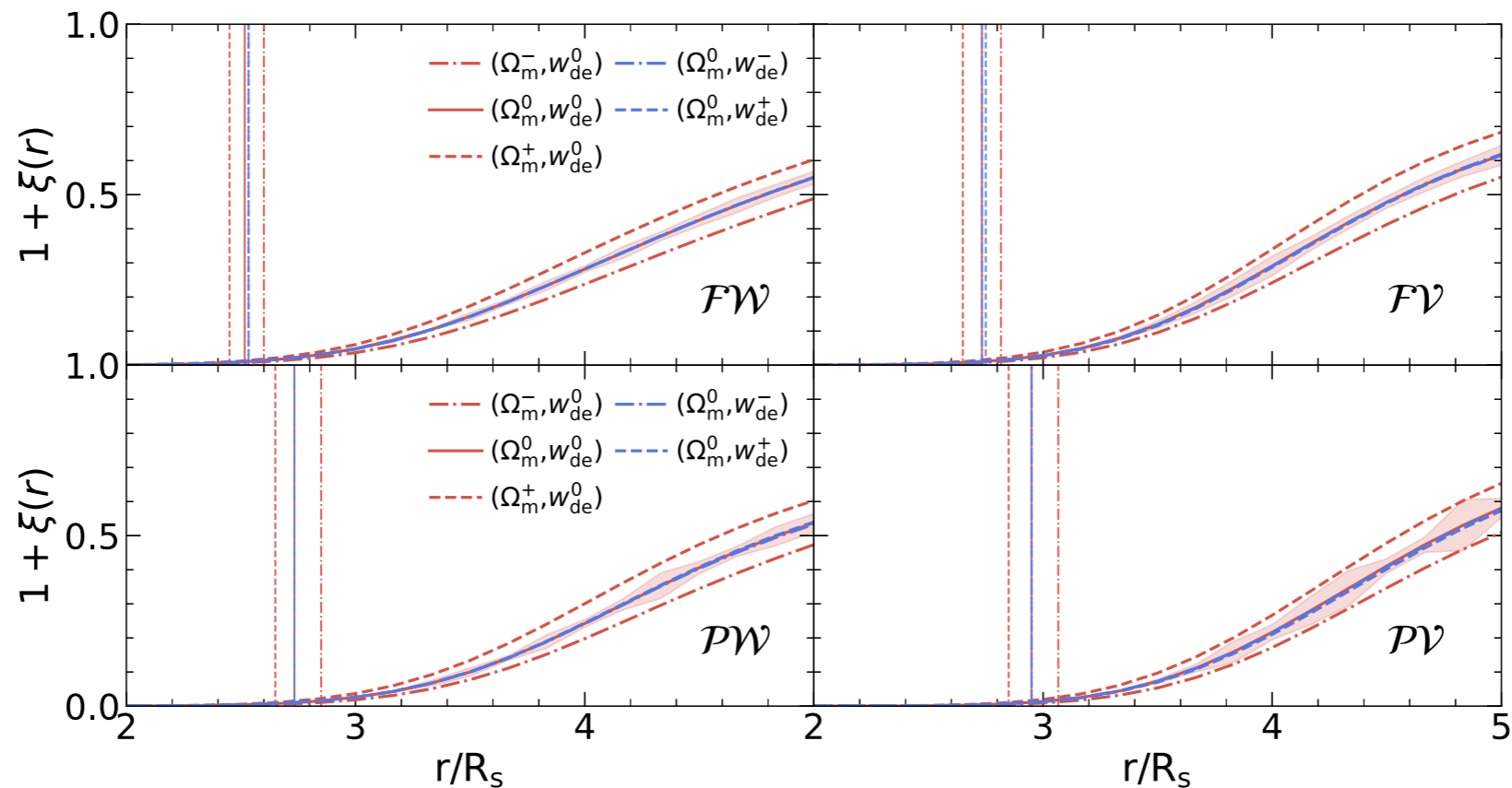


Figure 1. Two-point cross-correlation functions for pairs of positively and negatively biased critical points for the five different cosmologies as labeled. Correlation functions for the \mathcal{FW} , \mathcal{FV} , \mathcal{PV} , and \mathcal{PW} are shown clockwise from the upper-left panel. The adopted Gaussian smoothing scale R_s is $6 h^{-1}$ Mpc. Vertical lines represent the exclusion zone radii and shaded regions show the standard errors around the fiducial cosmology. Note that the correlation function for the fiducial cosmology (red-solid) is nearly identical to those with the different equations of state dark energy models (blue). However, the two-point correlation function depends on Ω_m , see Fig. 2.

طیف توان و اندیسهای طیفی

Power spectrum

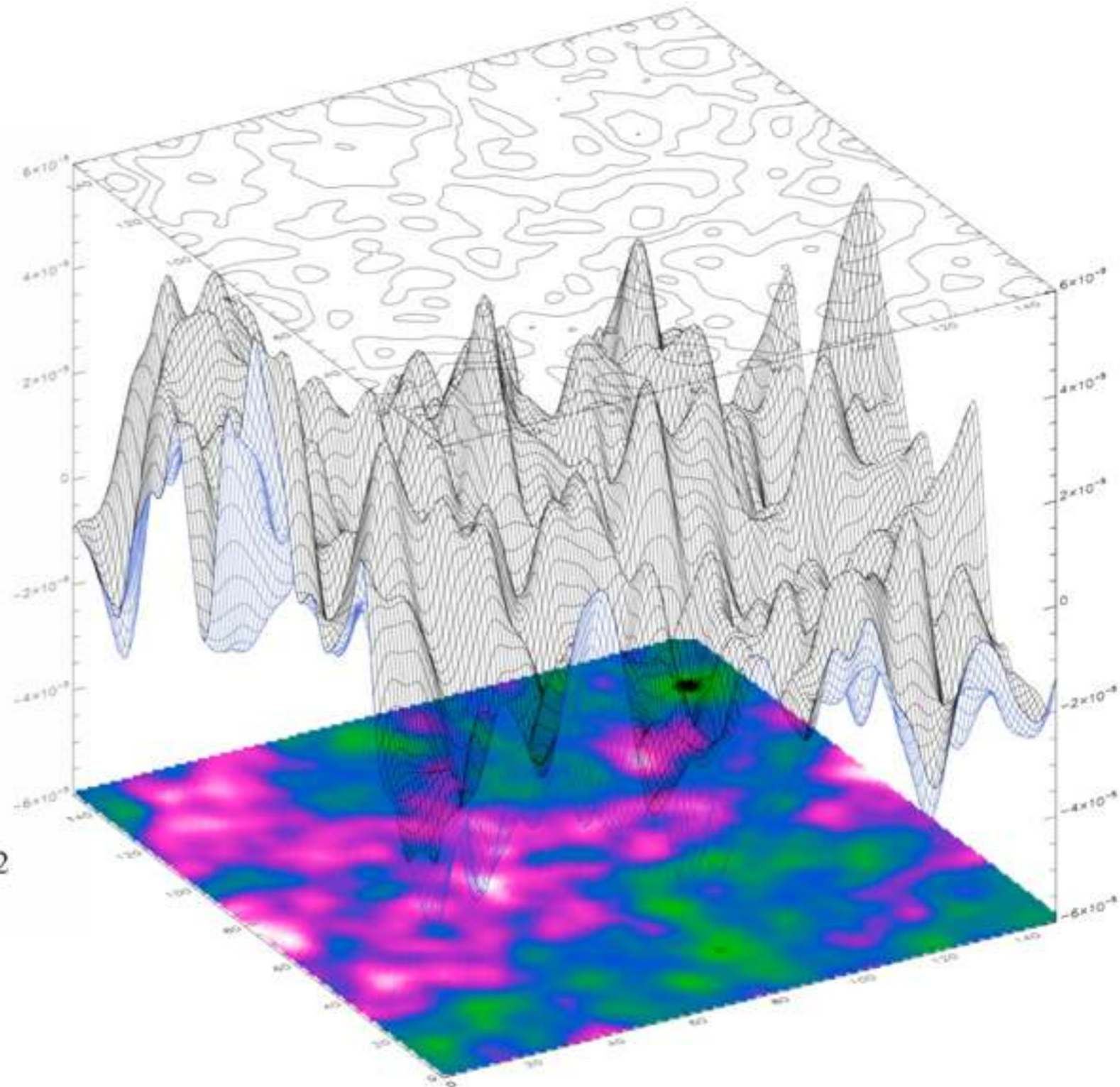
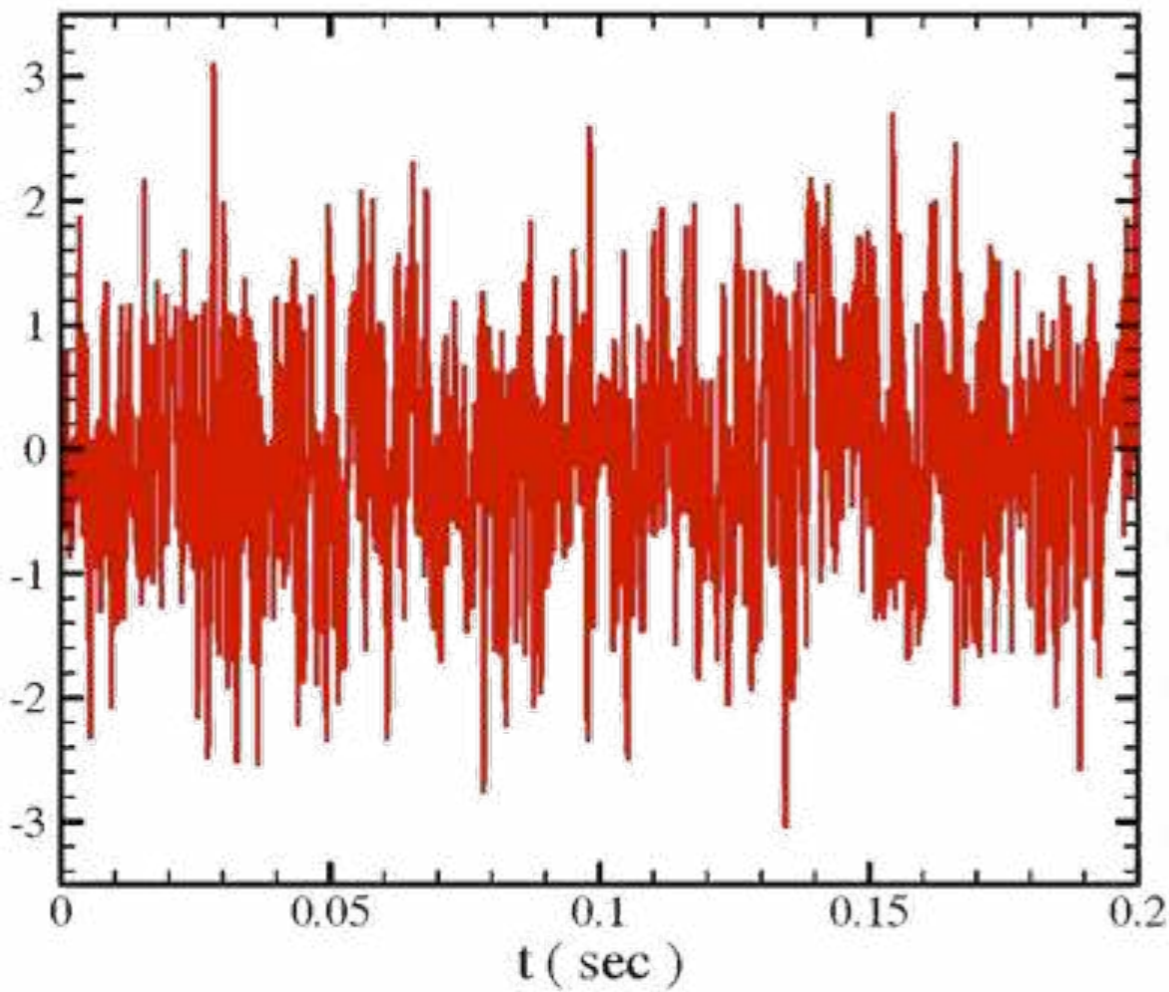
&

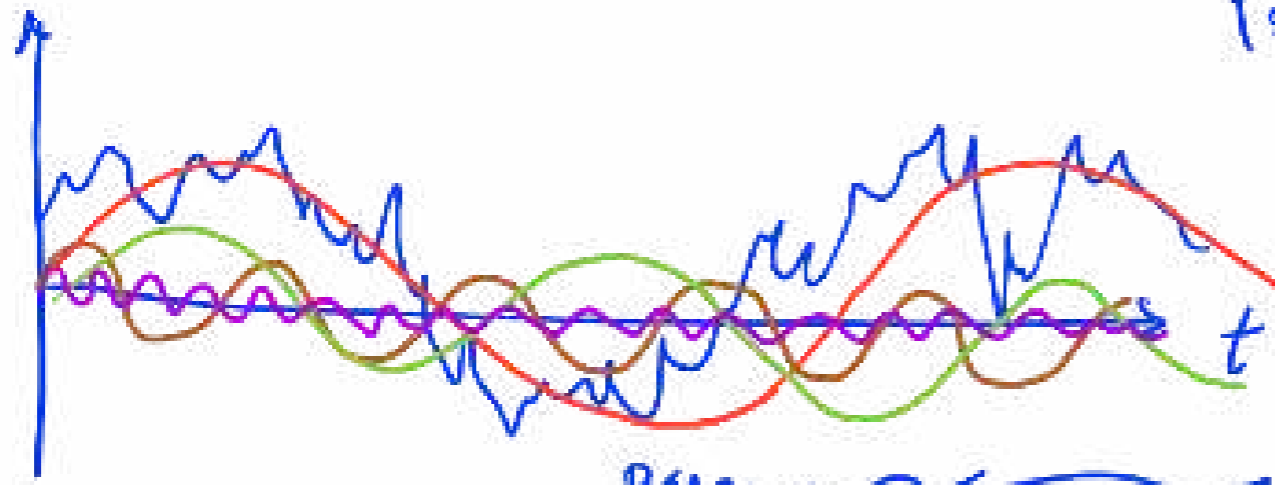
Spectral Indices

Power spectrum

1+2 dimensions

1+1 dimension



x 

$$\{x(t) = \{x_1, x_2, \dots, x_n\}$$

$$x(t) = A_1 F_1(t) + A_2 F_2 + A_3 F_3(t) + A_4 F_4(t) + \dots$$

Base ← ← ← ← ←

$$S(\omega) = \int d\tau e^{-i\omega\tau} C_x(\tau)$$

↑

Power spectrum

$$\underline{C_x(\tau)} = \int d\omega \underline{e^{i\omega\tau}} \underline{S(\omega)}$$

Some properties

$$\sigma^2 = C_x(0) = \int_{-T}^T S_x(\omega) d\omega$$

$$C_x(\tau) = C_x(-\tau)$$

$$S_x(\omega) = A(\omega) + iB(\omega)$$

$$B(\omega) = \frac{1}{2T} \int_{-T}^T C_x(\tau) \sin(\omega\tau) d\tau = 0$$

$$S_x(\omega) = |X(\omega)|^2$$

$$S_x(\omega) = \frac{1}{2T} \int_{-T}^T C_x(\tau) e^{i\omega\tau} d\tau = \frac{1}{2T} \int_{-T}^T \langle x(t) \cdot x(t+\tau) \rangle e^{i\omega\tau} d\tau$$

$$= \frac{1}{2T} \int_{-T}^T \frac{1}{T} \int_{-T}^T x(t) \cdot x(t+\tau) dt e^{i\omega\tau} d\tau$$

$$= \frac{1}{2T^2} \int_{-T}^T \int_{-T}^T \left(\int X(\omega') e^{-i\omega' t} d\omega' \right) \left(\int X(\omega'') e^{i\omega''(t+\tau)} d\omega'' \right) dt e^{i\omega\tau} d\tau$$

$$= \frac{1}{2T^2} (2\pi)^2 \delta(\omega - \omega'') \delta(\omega' + \omega) X(\omega) X^*(\omega)$$

How fast?

N	CPU Time Required at 10^6 Flops	
	Discrete Fourier Transform	Fast Fourier Transform
10^3	1.0 sec	0.01 sec
10^6	10^6 sec = 12 days	20 sec
10^9	10^{12} sec = 32,000 years	3.0×10^5 sec = 8.3 hours

$$x(0) \cdots x(N-1) \quad x(0) \cdots x((N-1)\Delta t) \quad T_{\min} = \Delta t \quad \omega_{\max} = \frac{2\pi}{\Delta t}$$

$$T_{\max} = N\Delta t \quad \omega_{\min} = \frac{2\pi}{N\Delta t} \quad \Delta t \rightarrow \Delta\omega = \frac{2\pi}{N\Delta t} \quad \omega_k = \frac{2\pi k}{N\Delta t}$$

$$y_i = x(2j) \quad z_j = x(2j+1)$$

$$Y_k = \frac{1}{N/2} \sum_{j=0}^{N/2-1} y_j e^{\frac{i2\pi kj}{N/2}}$$

$$Z_k = \frac{1}{N/2} \sum_{j=0}^{N/2-1} z_j e^{\frac{i2\pi kj}{N/2}} \quad k = 0 \dots N/2-1$$

$$X_k = \frac{1}{N} \sum_{j=0}^{N-1} x(j) e^{\frac{i2\pi kj}{N}} \quad k = 0 \dots N-1$$

$$X_k = \frac{1}{N} \sum_{j=0}^{M-1} x(2j) e^{\frac{i2\pi kj}{N}} + x(2j+1) e^{\frac{i2\pi k(2j+1)}{N}}$$

$$= \frac{1}{N} \sum_{j=0}^{M-1} y_j e^{\frac{i2\pi kj}{N}} + z_j e^{\frac{i2\pi k(2j+1)}{N}} = \frac{1}{2} \left[Y_k + e^{\frac{i2\pi k}{N}} Z_k \right] \quad k = 0 \dots N/2-1$$

$$X_k = \frac{1}{2} \left[Y_k + e^{\frac{i2\pi k}{N}} Z_k \right] \quad k = N/2 \dots N-1$$

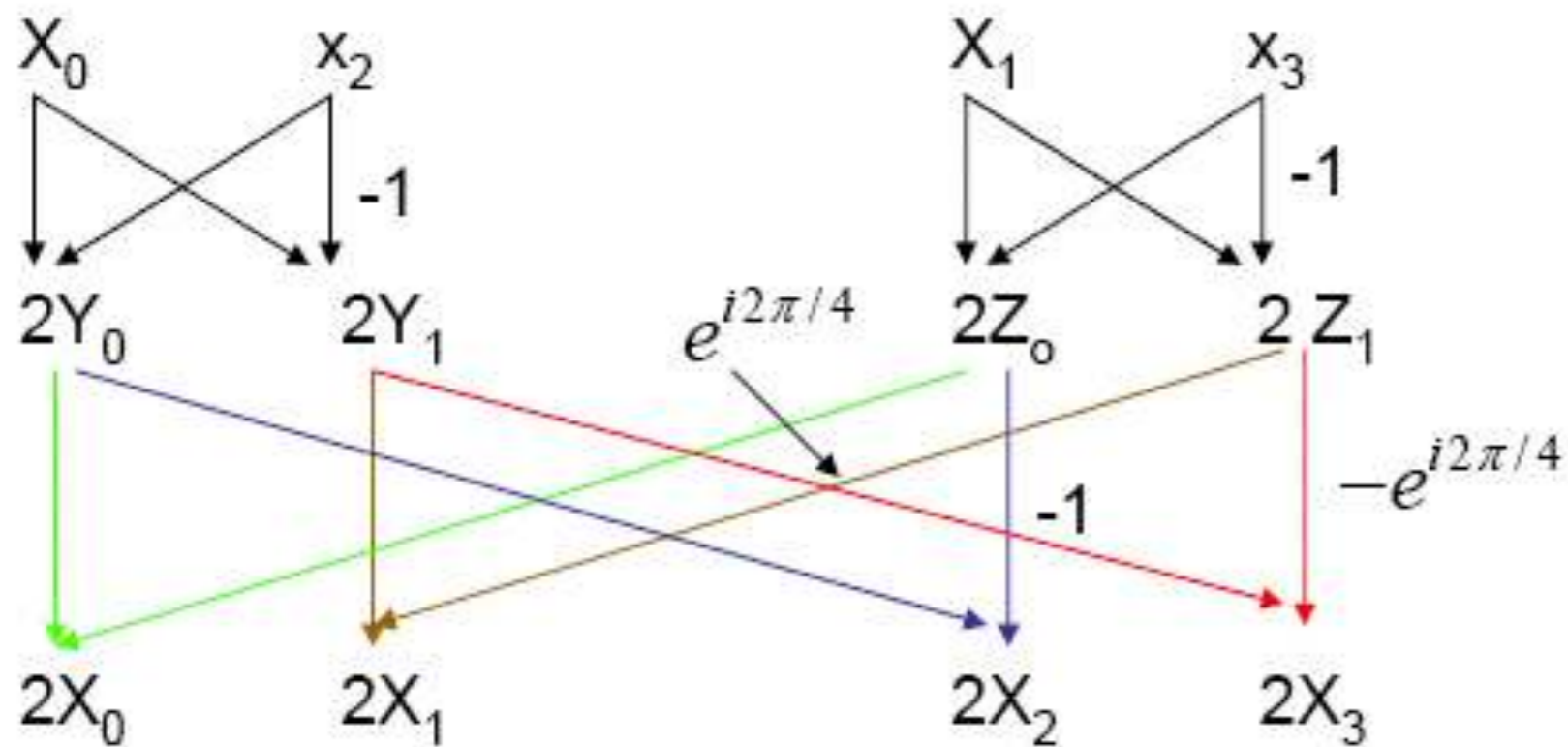
$$= \frac{1}{2} \left[Y_{k-\frac{N}{2}} + e^{\frac{i2\pi k}{N}} Z_{k-\frac{N}{2}} \right] \quad k \rightarrow k + N/2 \quad k = 0 \dots N/2-1$$

$$X_{k+\frac{N}{2}} = \frac{1}{2} \left[Y_k - e^{\frac{i2\pi k}{N}} Z_k \right] \quad k = 0 \dots N/2-1$$

Fast Fourier Transformation (FFT)

Butterfly diagram for FFT

$X: \{x_0, x_1, x_2, x_3\}$

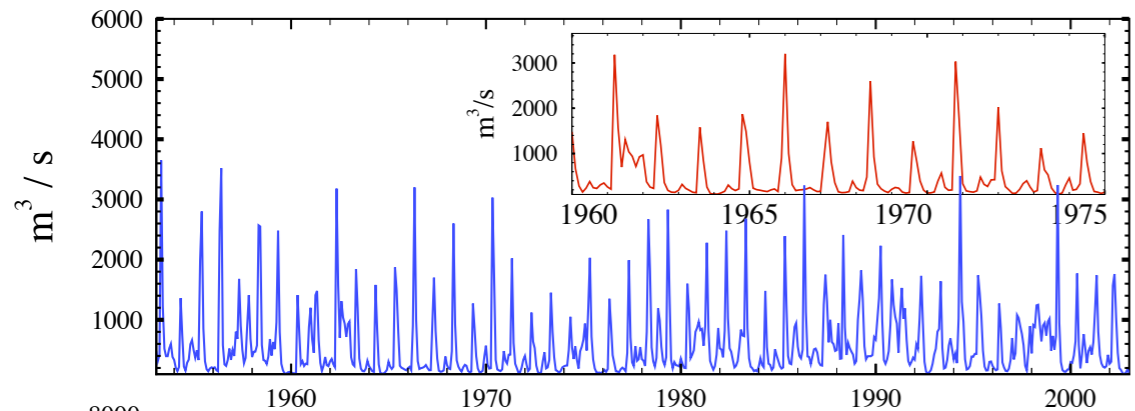
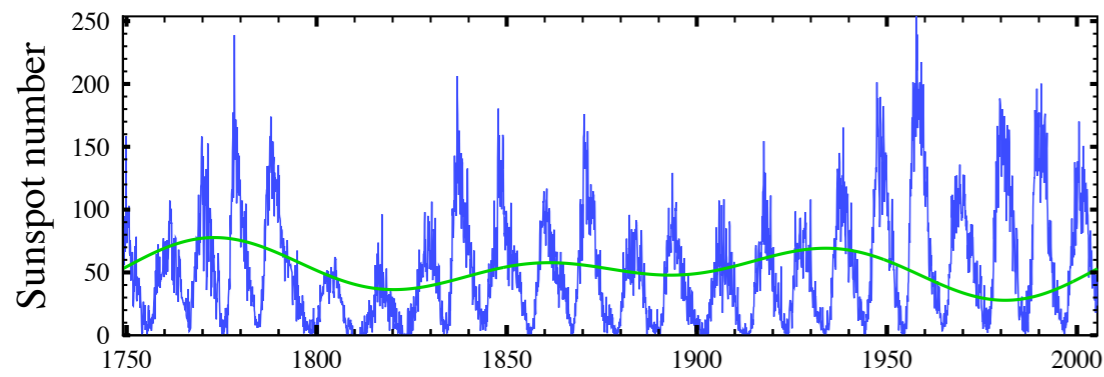


$$X_0 = \frac{1}{2} \{Y_0 + Z_0\}$$

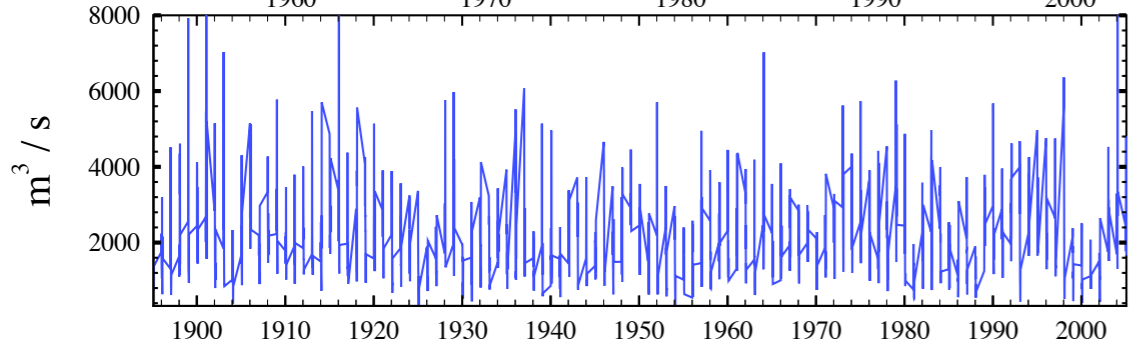
$$X_1 = \frac{1}{2} \{Y_1 + e^{i2\pi/4} Z_1\}$$

$$X_2 = \frac{1}{2} \{Y_0 + e^{i2\pi 2/4} Z_0\}$$

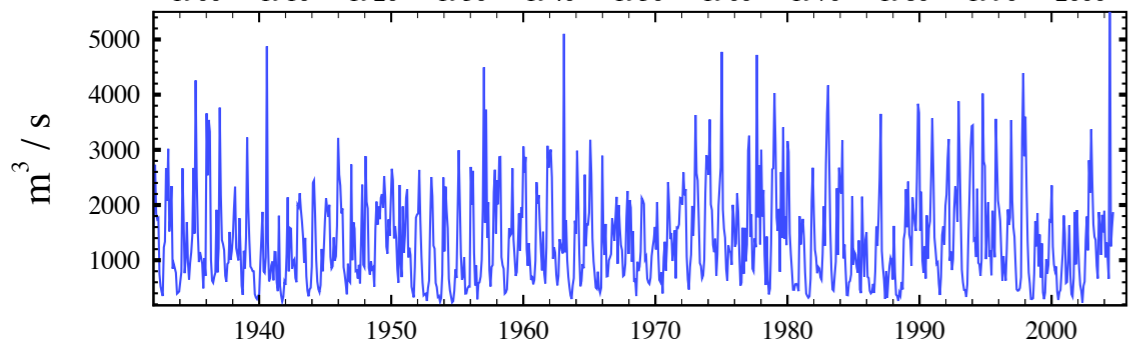
$$X_3 = \frac{1}{2} \{Y_1 - e^{i2\pi/4} Z_1\}$$



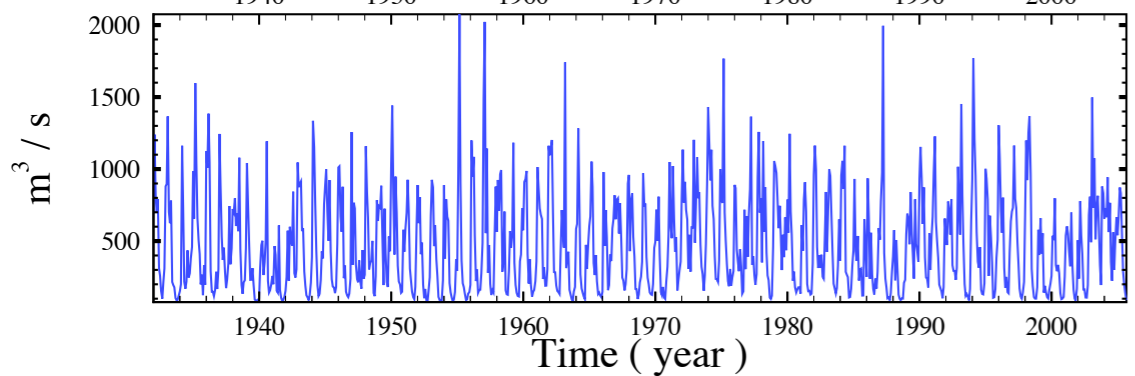
Daugava



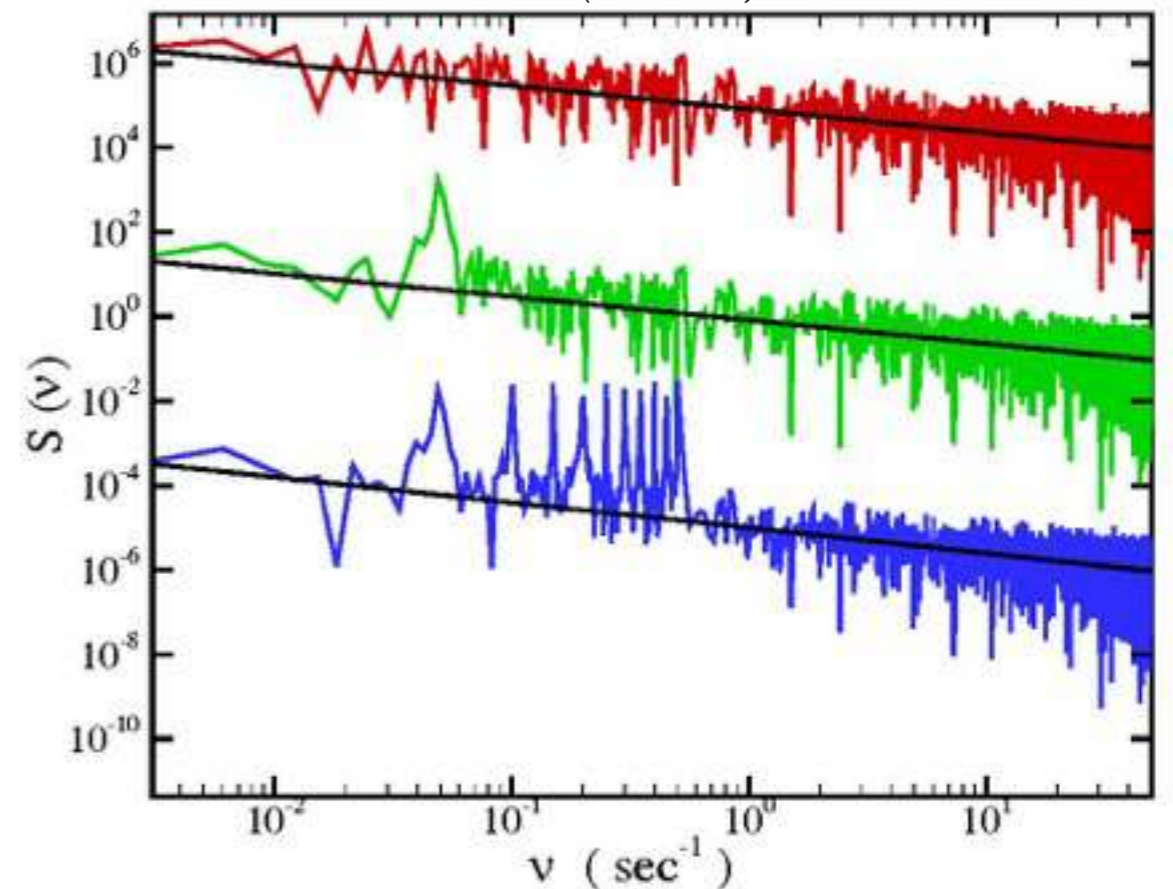
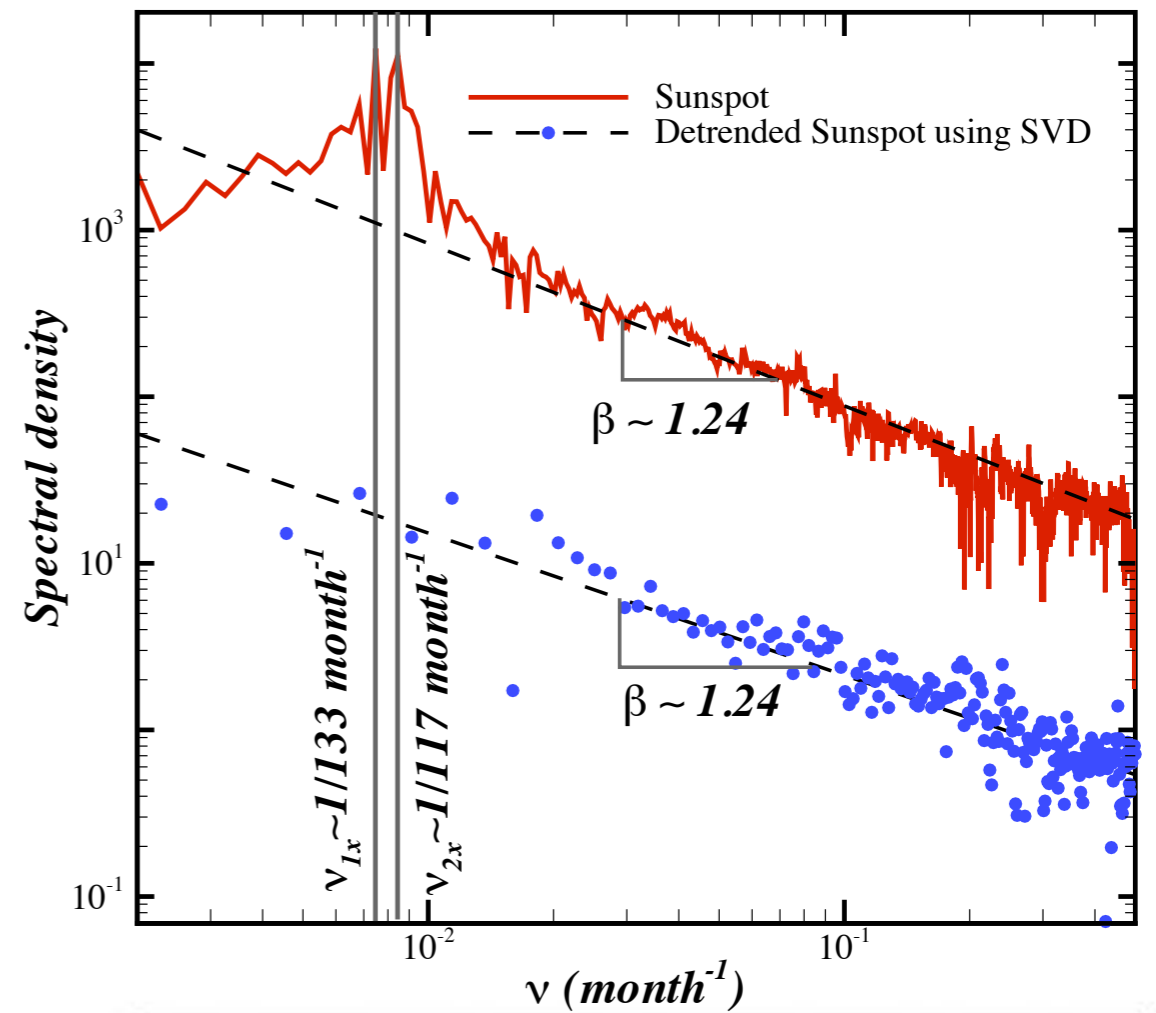
French Broad



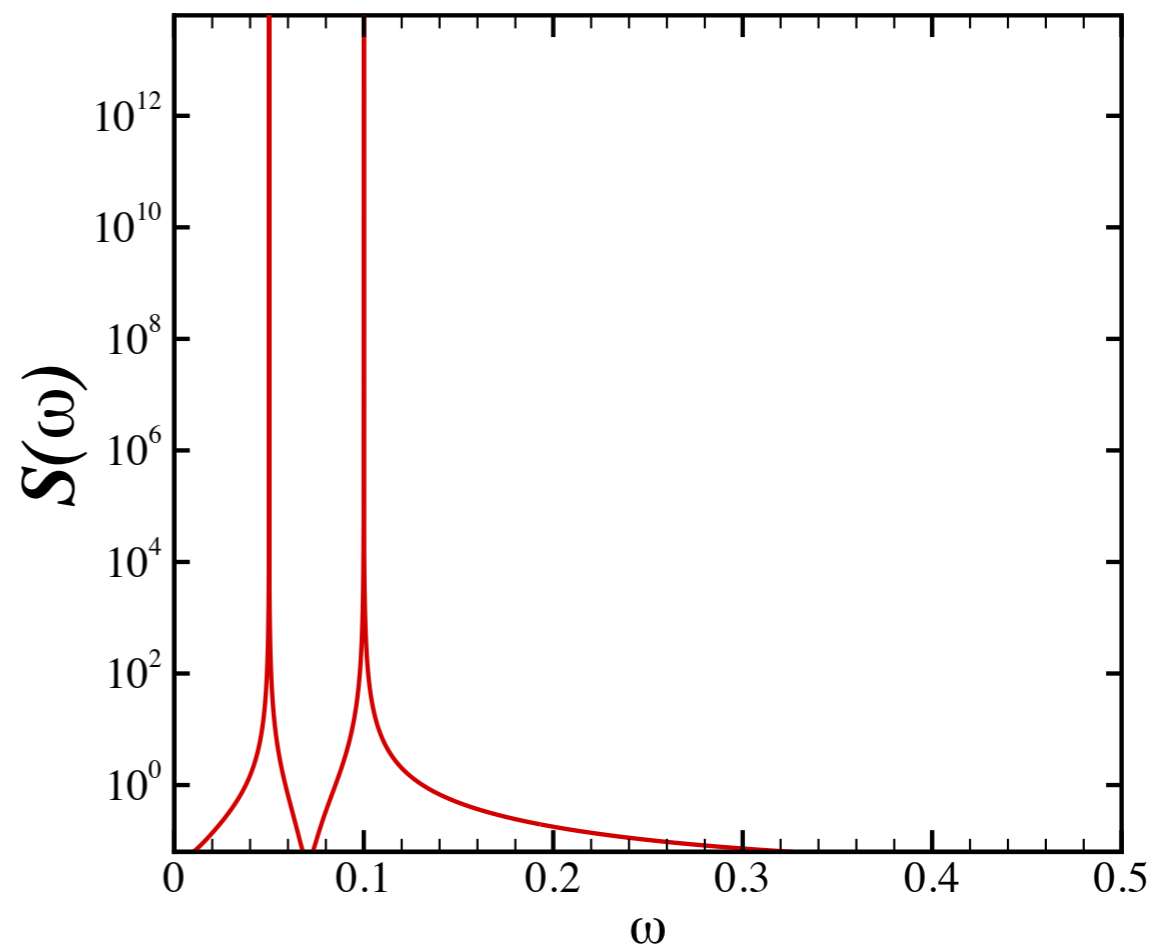
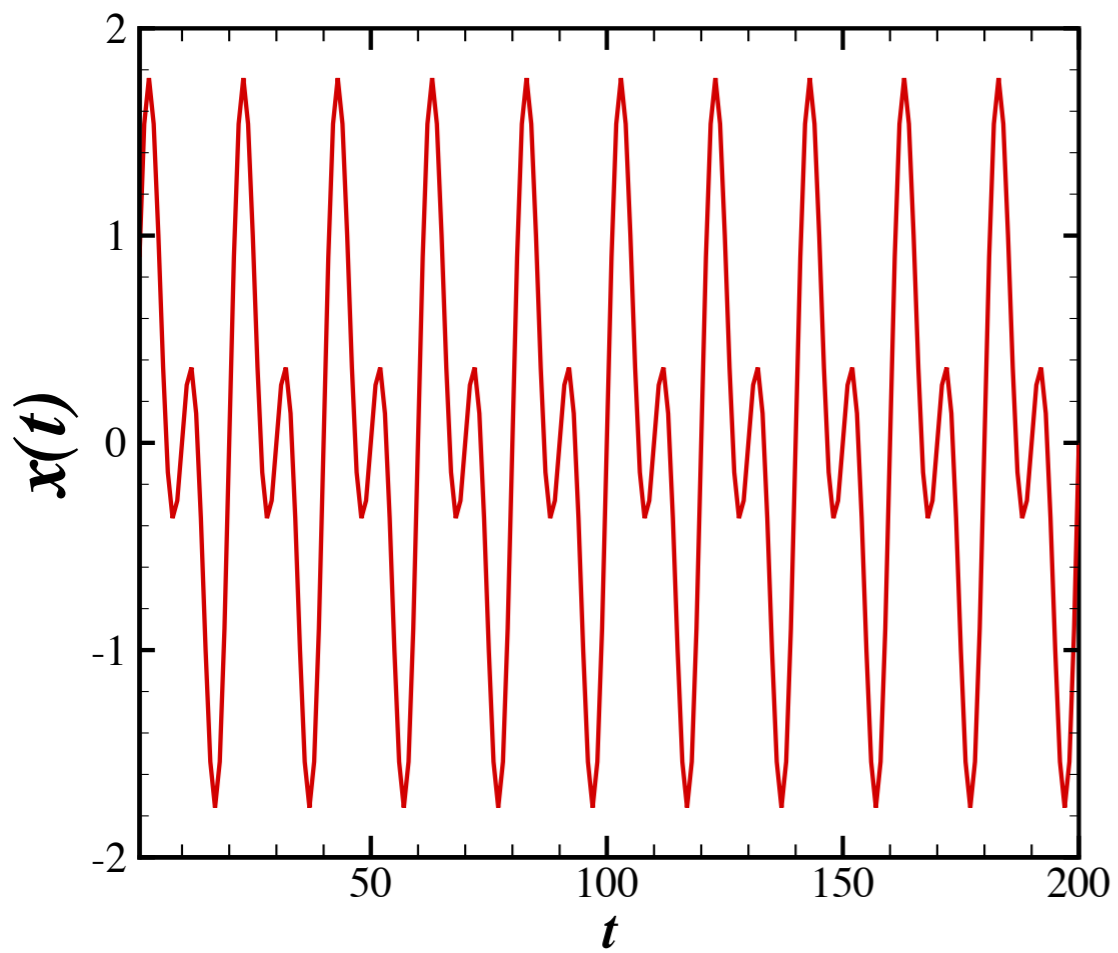
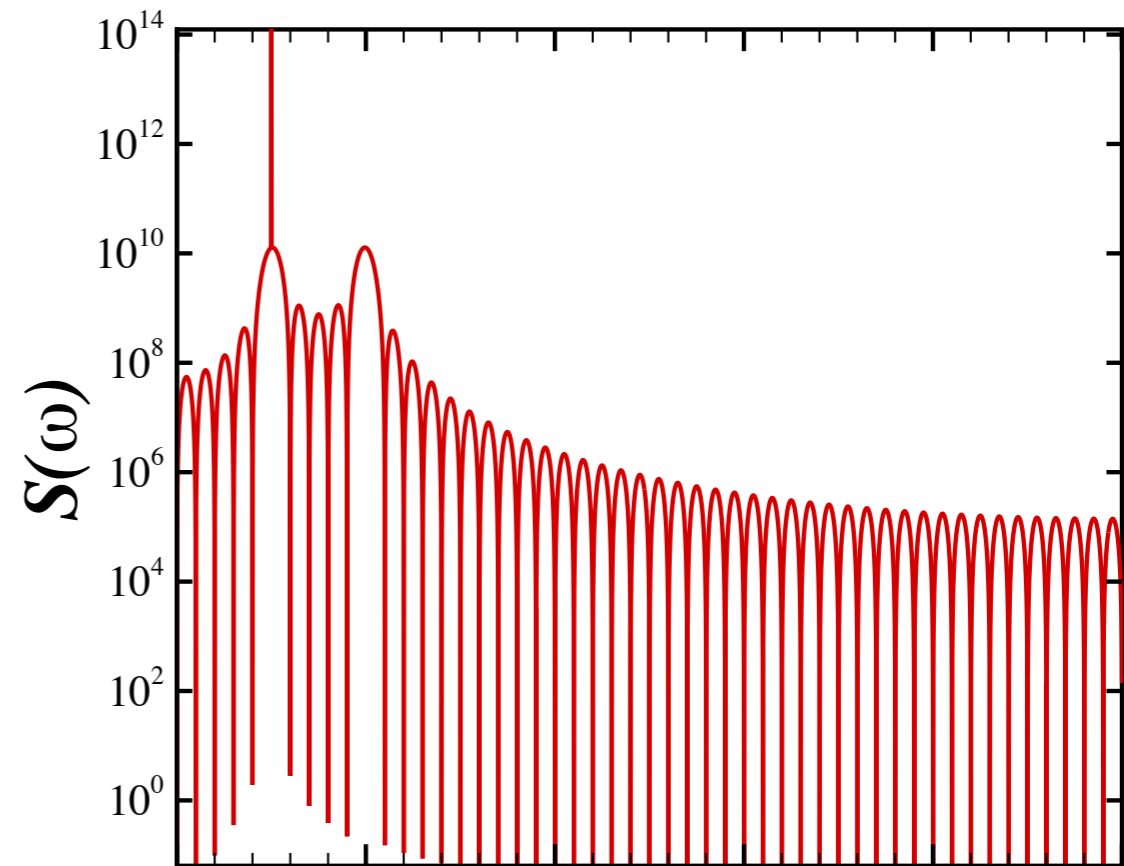
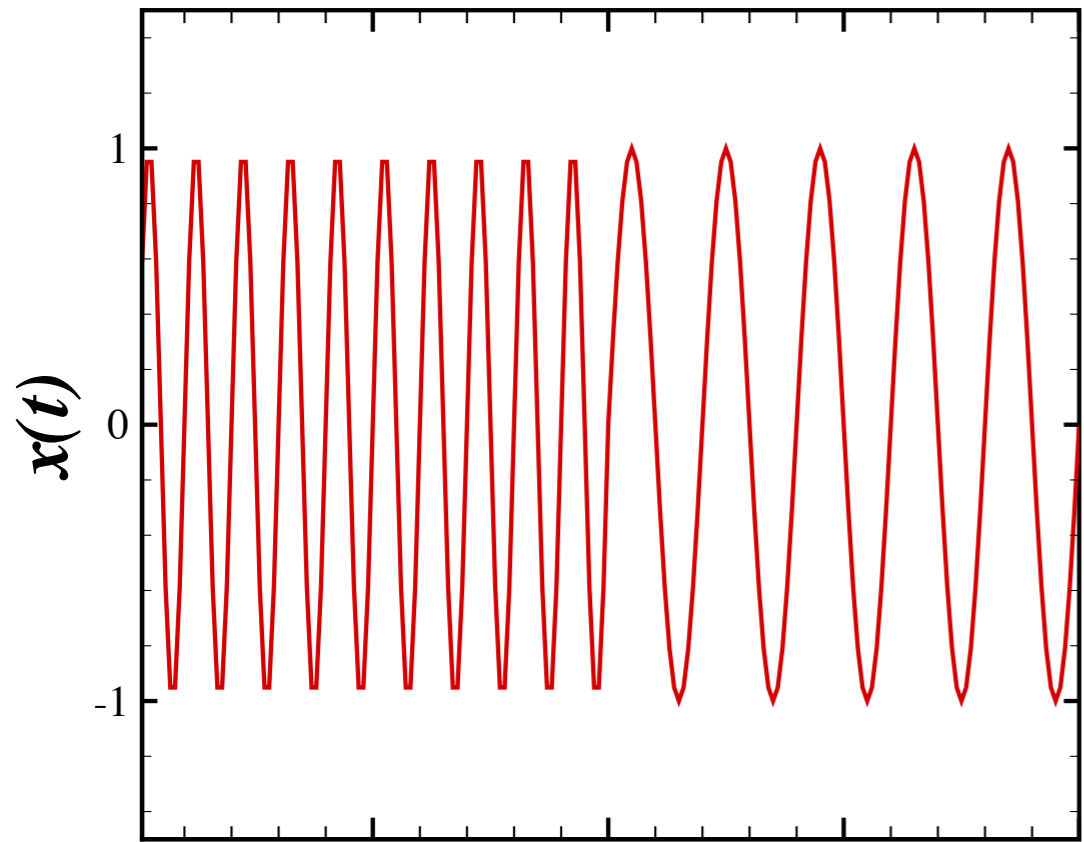
Nolichucky



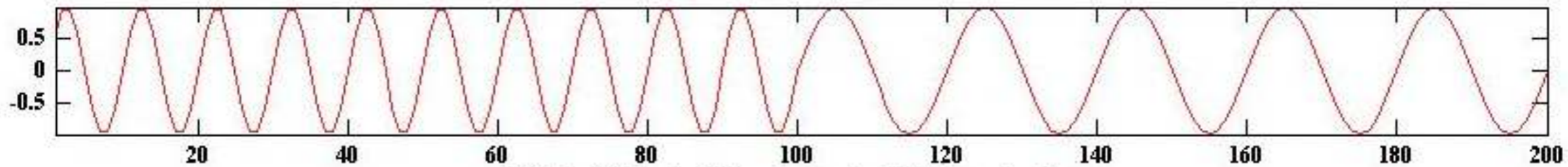
Holston



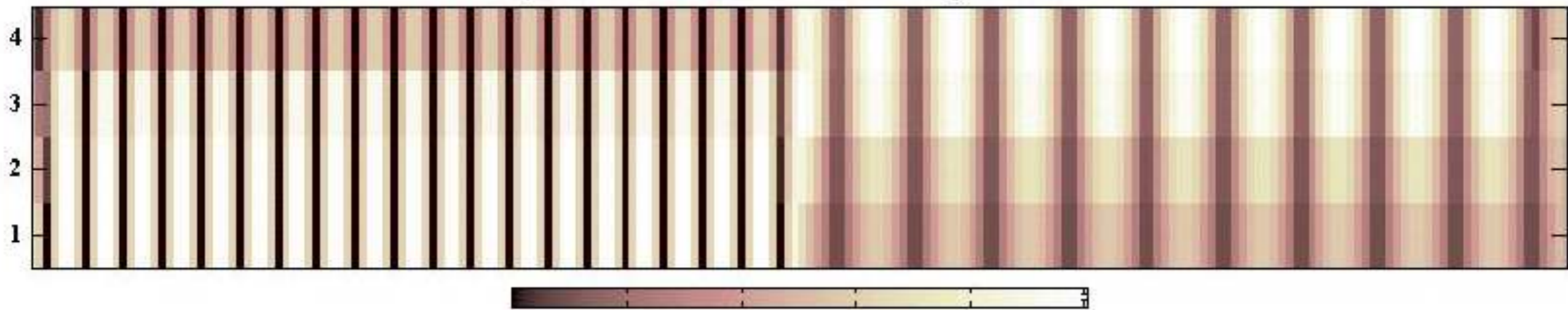
Wavelet versus FFT



Analyzed Signal (length = 200)

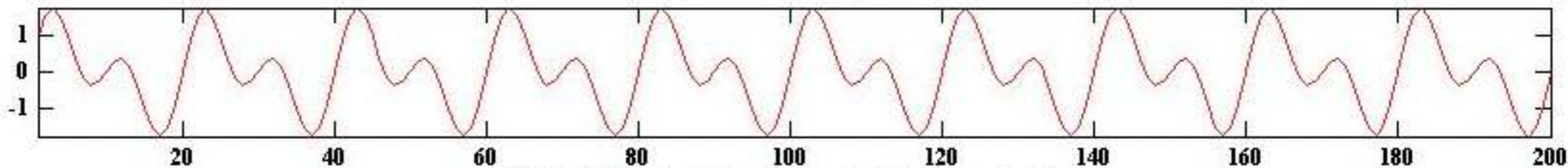


Ca,b Coefficients - Coloration mode: init + by scale + abs

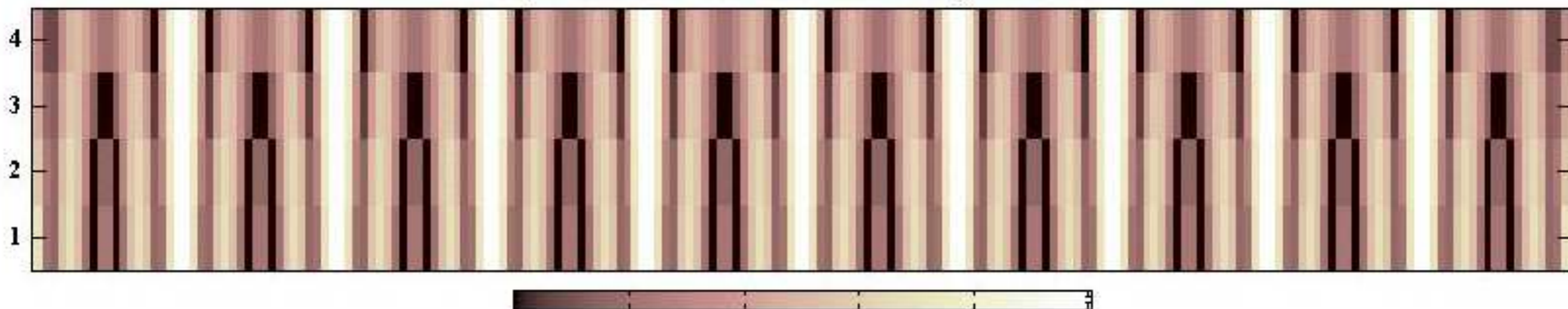


Scale of colors from MIN to MAX

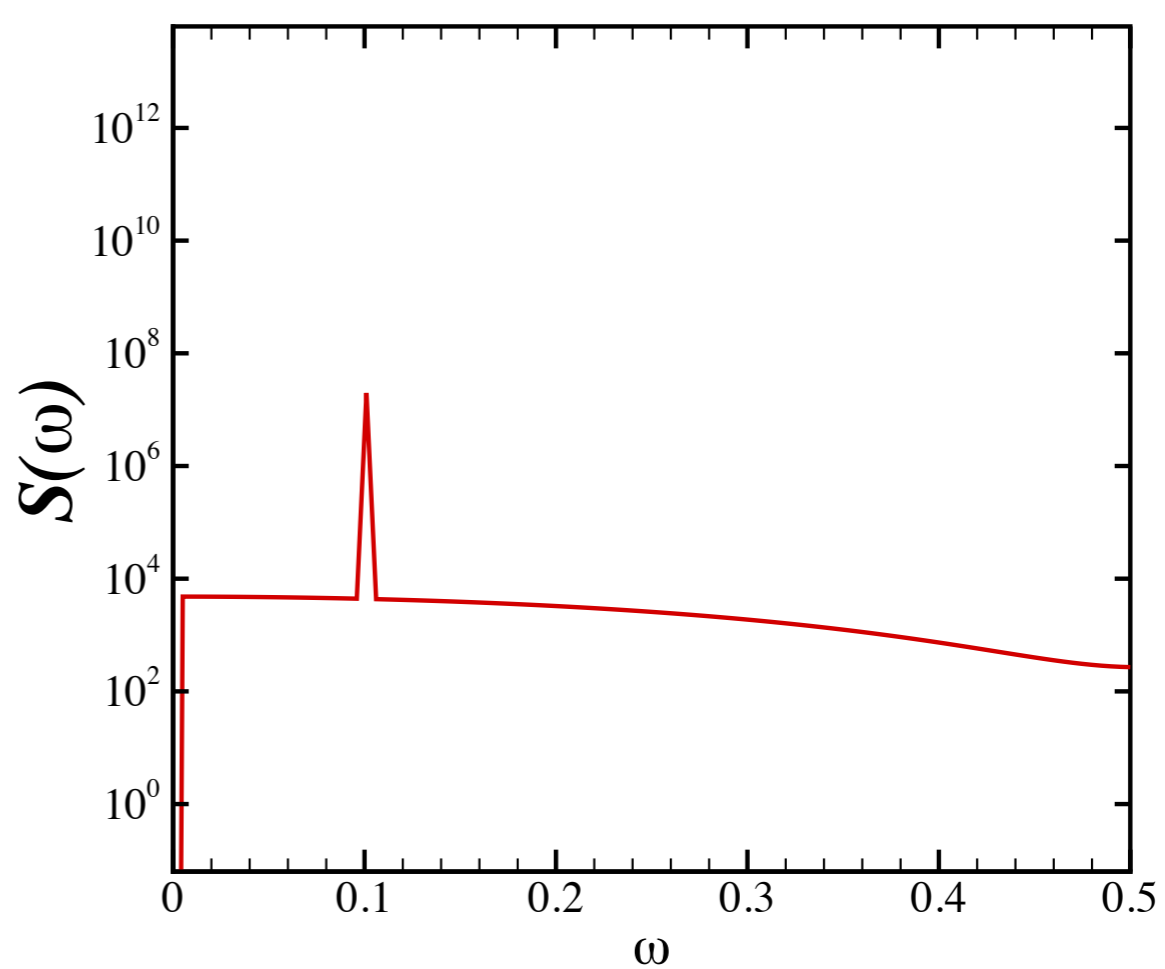
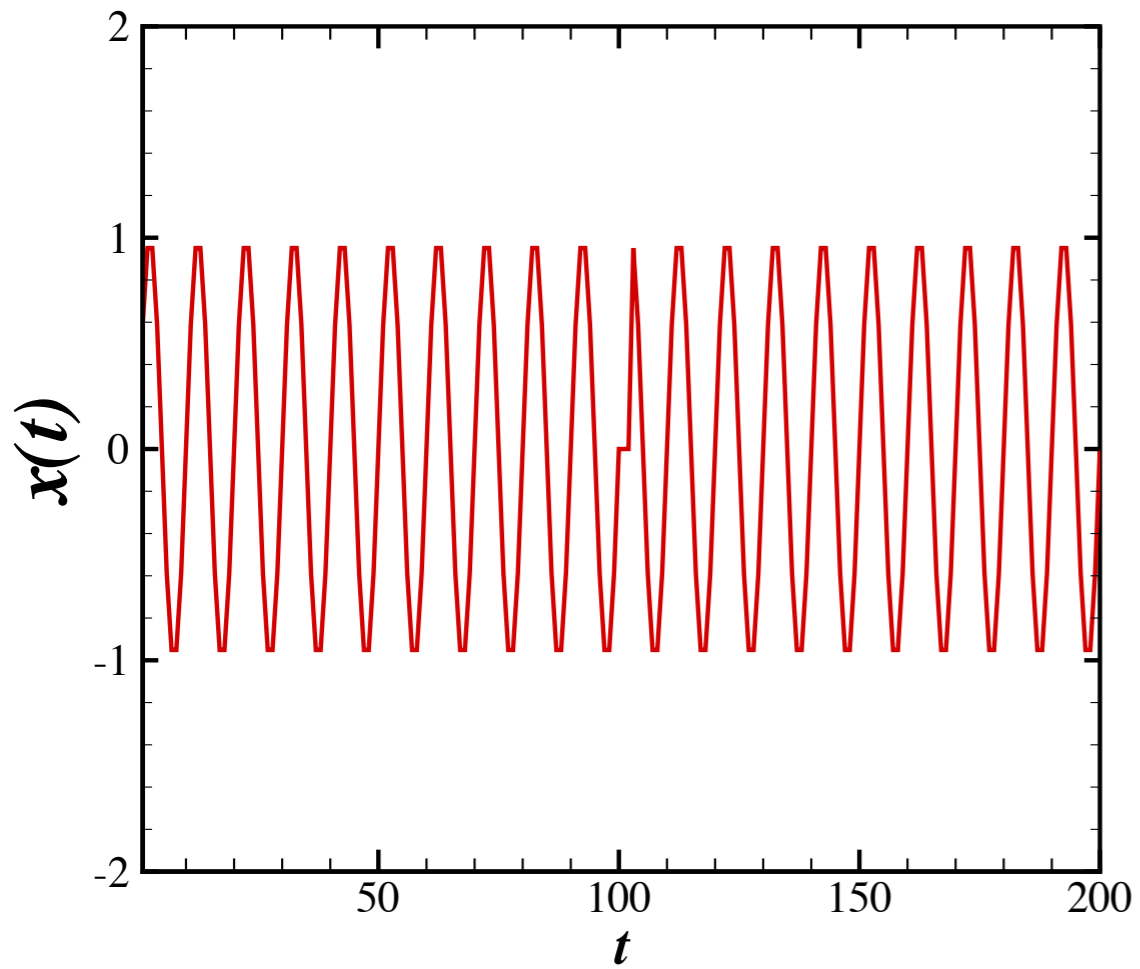
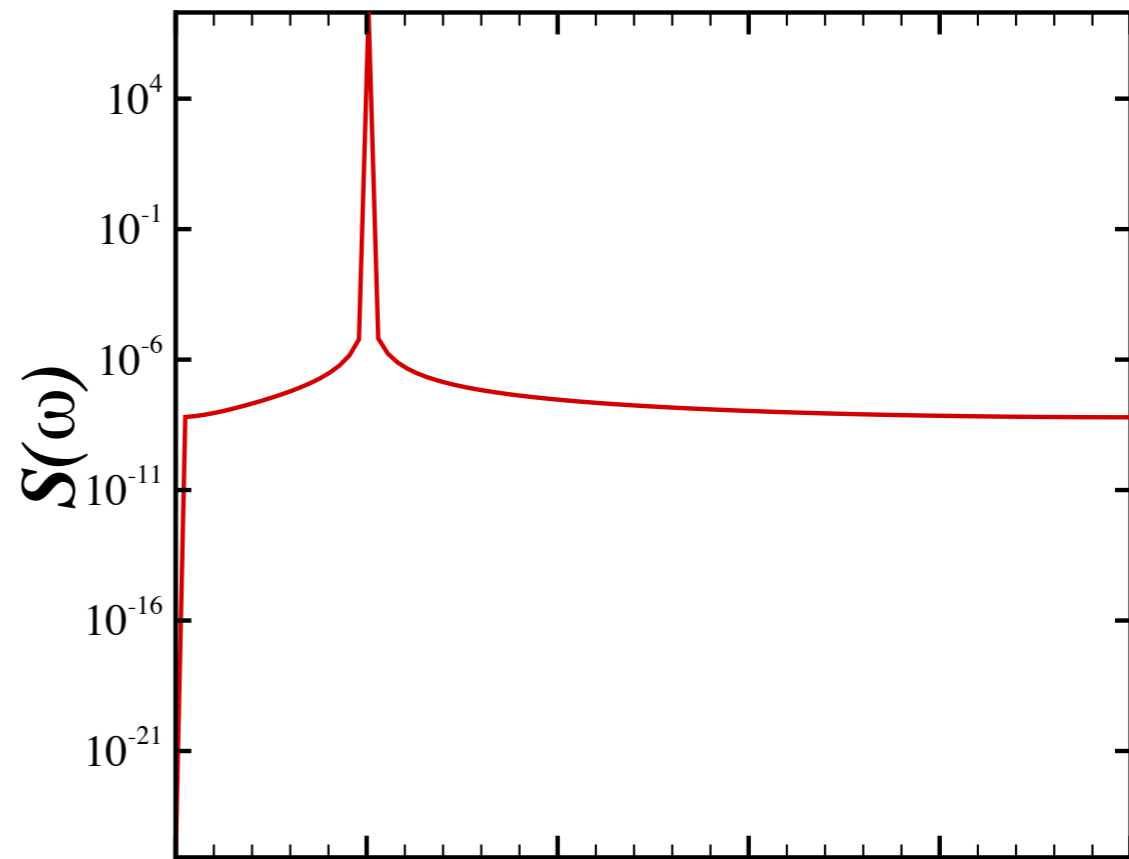
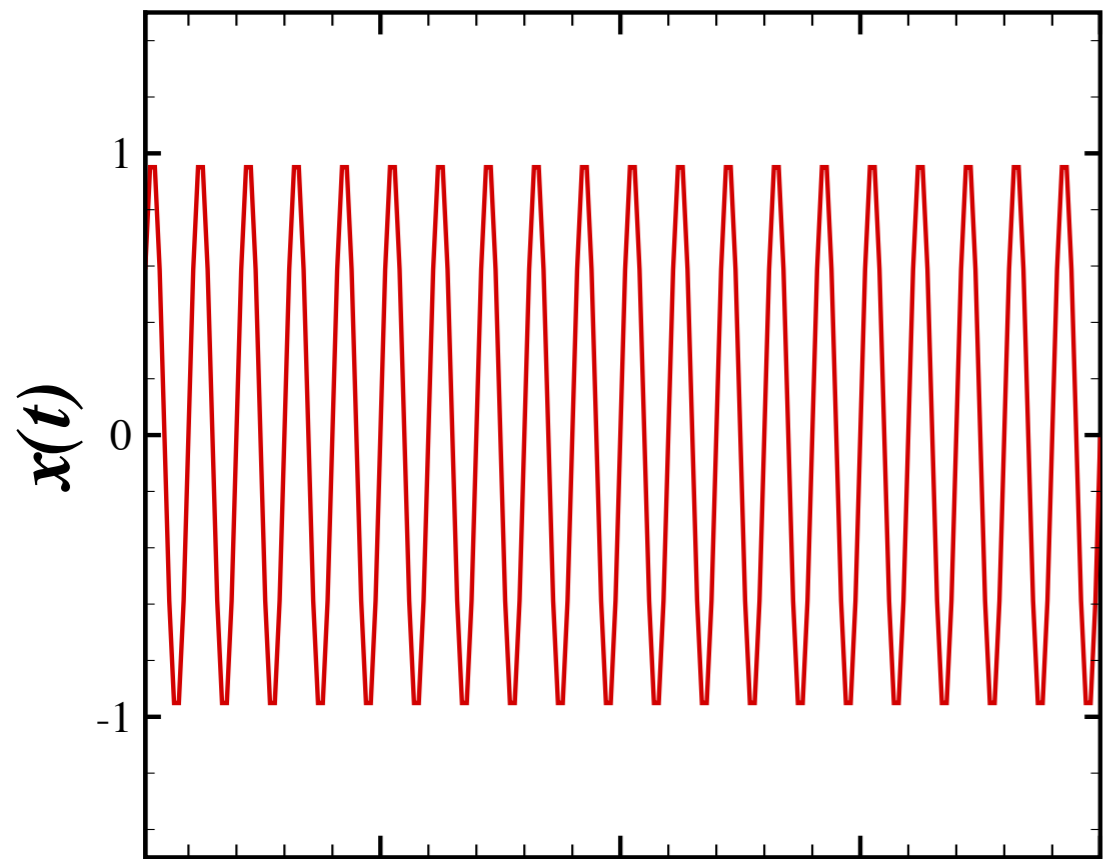
Analyzed Signal (length = 200)



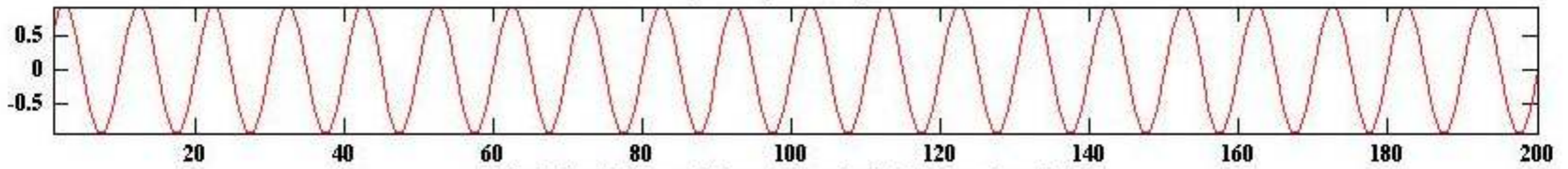
Ca,b Coefficients - Coloration mode: init + by scale + abs



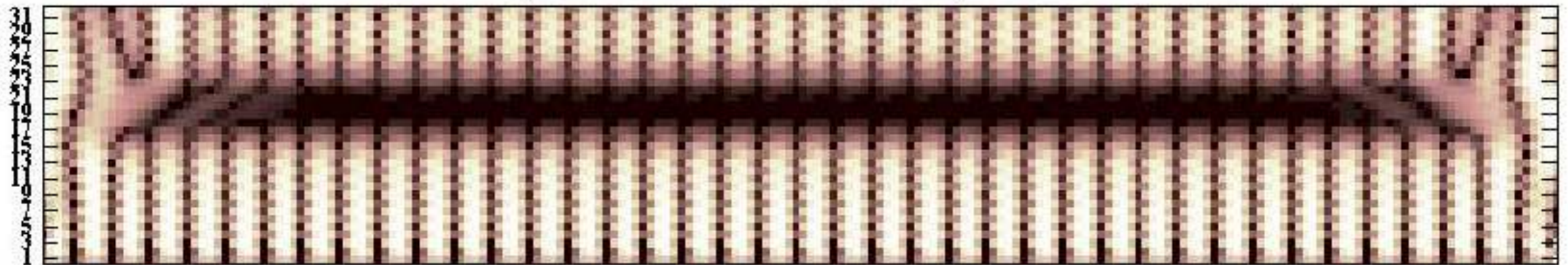
Scale of colors from MIN to MAX



Analyzed Signal (length = 200)

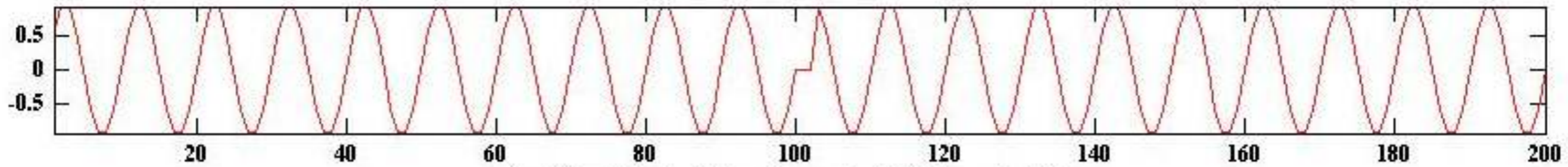


Ca,b Coefficients - Coloration mode: init + by scale + abs



Scale of colors from MIN to MAX

Analyzed Signal (length = 200)



Ca,b Coefficients - Coloration mode: init + by scale + abs



Scale of colors from MIN to MAX

$$\frac{\Delta T(\theta, \varphi)}{\bar{T}} = \sum_{lm} a_{lm} Y_{lm}(\theta, \varphi)$$

$$a_{lm} = \int d\Omega \frac{\Delta T(\theta, \varphi)}{\bar{T}} Y_{lm}(\theta, \varphi)$$

$$\langle a_{lm} a_{l'm'} \rangle = \int d\Omega \int d\Omega' Y_{lm}(\theta, \varphi) Y_{l'm'}(\theta', \varphi') \left\langle \frac{\Delta T(\theta, \varphi)}{\bar{T}} \frac{\Delta T(\theta', \varphi')}{\bar{T}} \right\rangle$$

$$C(\hat{n}, \hat{n}') = C(\hat{n} \cdot \hat{n}') = \frac{1}{4\pi} \sum_l (2l+1) C_l P_l(|\hat{n} \cdot \hat{n}'|)$$

$$\langle a_{lm} a_{l'm'} \rangle = \delta_{ll'} \delta_{mm'} C_l$$

Cosmic Variance

$$C_l = \frac{1}{(2l+1)} \sum_{m=-l}^{m=+l} |a_{lm}|^2$$

$$\sigma_l^2 = \langle C_l^2 \rangle - \langle C_l \rangle^2 \rightarrow \langle C_l^2 \rangle = \frac{3}{(2l+1)^2} \sum_{mm'} \langle a_{lm} a_{lm} \rangle \langle a_{lm'} a_{lm'} \rangle = 3 \langle C_l \rangle^2$$

$$\sigma_l^2 = 2 \langle C_l \rangle^2 \rightarrow (\sigma_l^2)_m = \frac{\sigma_l^2}{N} = \frac{2 \langle C_l \rangle^2}{2l+1} \doteq \frac{2C_l^2}{2l+1}$$

Spectral Indices

$$\sigma_n^2 = \left(\frac{d}{d\tau} \right)^{2n} C_{xx}(\tau) = \int d^D \omega \omega^m S(\omega)$$

$$m = \begin{cases} 2n + 2 & \text{for } D = 3 \\ 2n + 1 & \text{for } D = 2 \\ 2n & \text{for } D = 1 \end{cases}$$

کاربردهای این تعاریف را در درس بعدی خواهیم دید

جمع بندی در مورد تابع توزیع و تابع همبستگی

(۱) تابع توزیع در حقیقت اطلاعاتی از فراوانی مقادیر منتسب به کمیت مورد نظر به دست می دهد

(۲) تابع همبستگی اطلاعاتی از چگونگی ارتباط مقادیر منتسب به کمیت مورد نظر در زمان (مکان)های مختلف به دست می دهد.

(۳) اعداد کاتوره ای یعنی اینکه $\langle x(t)x(t') \rangle = g\delta(t - t')$

ولی می تواند همزمان فراوانی های مختلفی داشته باشد.

(۴) اعدادی که با تابع توزیع گوسی وجود دارند در حالت کلی می توانند تابع همبستگی های مختلفی داشته باشند

از توجه شما سپاسگزاریم

مدرسه و کارگاه

تحلیل آماری میدان‌های کیهانی

مفاتیح این مدرسه علاقه‌مندان به:

- کشف الگوهای پنهان در داده‌های کیهانی
- کاوش در داده‌های بزرگ از نسل جدید تلسکوپ‌ها
- تحلیل آماری با هدف استخراج قوانین حاکم بر کیهان نخستین و تحول آن

مدرسین مدرسه:

- علی‌اکبر ابوالحسنی (دانشگاه صنعتی شریف)
- شانت باقرام (دانشگاه صنعتی شریف)
- لیا خسروی (دانشگاه شهید بهشتی)
- مرصیه فرهنگ (دانشگاه شهید بهشتی)
- سید محمدصادق موحد (دانشگاه شهید بهشتی)
- مهدیار نوربالا (دانشگاه تهران)

۲۱، ۲۲ و ۲۹ مهر ماه ۱۴۰۰
دانشکده فیزیک - دانشگاه شهید بهشتی

مهلت ثبت نام: ۳۱ شهریورماه ۱۴۰۰
<http://ccg.sbu.ac.ir>



کمیته برگزاری:

- زنگنه اقبالی
- مرصیه فرهنگ
- پویان گودرزی
- سید محمدصادق موحد

$$\frac{\partial P(\{F\}; \{T\})}{\partial F_i} = \mathcal{L}_i P(\{F\})$$

$$\mathcal{L}_i \equiv \sum_{n=1}^{\infty} \frac{(-\partial)}{\partial F_n} \frac{\partial}{\partial F_n} D_{i,n}^{(n)}$$


IPM Data Science

By part of the DATA revolution
A comprehensive seminar on the latest trends of Data Science
November 2018 - 2019, School of Computer Science, IPM

Main topics:

- Data Science and Big Data
- Visualization of Data in Data Science
- Data Science in Business and Marketing
- Data Science for Bioinformatics

Invited Speakers:

- Wouter de Kort (Radboud & AIO, The Netherlands)
- Marvin Theeuwes (Radboud & AIO, The Netherlands)
- Mehmet Mueen (Radboud & AIO, The Netherlands)
- Iman Shams (IPM, Iran)



Data Science Summer School (EDS)

Competition: <http://ipm.sbu.ac.ir/eds>

Benefits: a series of hands-on courses and practical exercises covering the key aspects of data science
June 2019 - July 2019, School of Computer Science, IPM
Registration deadline: June 15th, 2019

Main courses:

- Python Programming for Data Science
- Advanced Topics of Statistics for Data Science
- Machine Learning for Data Science
- Fundamentals of Data Science

Invited lecturers:

- Patrick Abrahams (IPM, Iran)
- Mehmet Mueen (Radboud & AIO, The Netherlands)
- Iman Shams (IPM, Iran)
- Iman Shams (IPM, Iran)

Organizers:

- Z. Fakhri (IPM, Iran)
- S. Jafarzadeh (IPM, Iran)
- M. Mueen (Radboud & AIO, The Netherlands)
- M. Mueen (Radboud & AIO, The Netherlands)
- S. Jafarzadeh (IPM, Iran)
- Z. Fakhri (IPM, Iran)



CosmoMC

کارگاه بین‌المللی در زمینه مدل‌سازی داده‌های کیهانی

۲۲ تا ۲۴ شهریورماه ۱۳۹۸

مکان: دانشکده فیزیک، دانشگاه شهید بهشتی

مدرسین: علی‌اکبر ابوالحسنی، سید محمدصادق موحد، مرصیه فرهنگ، لیا خسروی



CosmoMC

کارگاه بین‌المللی در زمینه مدل‌سازی داده‌های کیهانی

۲۲ تا ۲۴ شهریورماه ۱۳۹۸

مکان: دانشکده فیزیک، دانشگاه شهید بهشتی

مدرسین: علی‌اکبر ابوالحسنی، سید محمدصادق موحد، مرصیه فرهنگ، لیا خسروی



Data Modeling

کارگاه بین‌المللی در زمینه مدل‌سازی داده‌های کیهانی

۲۴ شهریورماه ۱۳۹۷

مکان: دانشکده فیزیک، دانشگاه شهید بهشتی

مدرسین: علی‌اکبر ابوالحسنی، سید محمدصادق موحد، مرصیه فرهنگ، لیا خسروی



کارگاه کارگاه یادگیری ماشین در فیزیک

Workshop on Machine Learning in Physics

کارگاه یادگیری ماشین در فیزیک

۲۸ و ۲۹ فروردین ماه ۱۳۹۸

مکان: دانشکده فیزیک، دانشگاه شهید بهشتی

مدرسین: علی‌اکبر ابوالحسنی، سید محمدصادق موحد، مرصیه فرهنگ، لیا خسروی



CAMB و CosmoMC

کارگاه بین‌المللی در زمینه مدل‌سازی داده‌های کیهانی

۲۷ شهریورماه ۱۳۹۷

مکان: دانشکده فیزیک، دانشگاه شهید بهشتی

مدرسین: علی‌اکبر ابوالحسنی، سید محمدصادق موحد، مرصیه فرهنگ، لیا خسروی



کارگاه یادگیری ماشین در فیزیک

Workshop on Machine Learning in Physics

کارگاه یادگیری ماشین در فیزیک

۲۸ و ۲۹ فروردین ماه ۱۳۹۸

مکان: دانشکده فیزیک، دانشگاه شهید بهشتی

مدرسین: علی‌اکبر ابوالحسنی، سید محمدصادق موحد، مرصیه فرهنگ، لیا خسروی

